



TSX -V:MD



Projet Willbob – Région Kan



Octobre 2025

Projet Willbob-Kan

- Localisation, accès, claims
- Géologie Fosse du Labrador
- Histoire du projet
- Les schistes noirs comme source et puits d'or
 - Grand modèle 2012
 - Schistes noirs de la formation Baby
- Modèle structurel régional
- Indices aurifères de Willbob-Kan
- Géochimie des sols de Kan



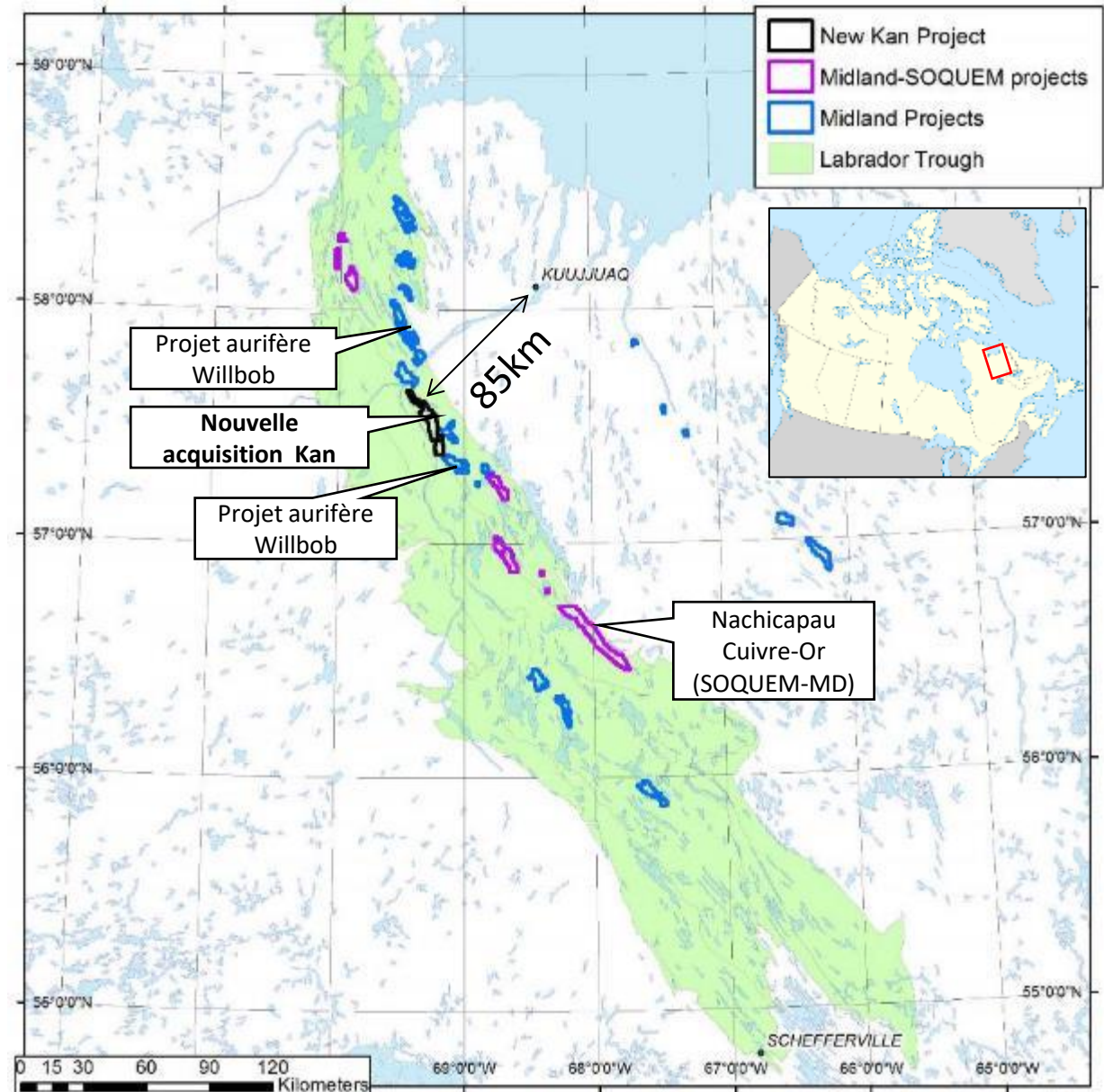
Or à partir du sol sur
l'indice de Winchester



Réseau de veines de quartz dans
une formation de fer silicatée-
carbonatée, Indice Pump Pad Ridge

Projet Willbob Secteur Kan

- Projet situé à 85 km au sud-ouest de Kuujuaq
- Nouvelle acquisition en avril 2025, 231 titres miniers couvrant 121 km² - 35 km x 3,5 km de la formation de fer silicatée-carbonatée favorable, schistes noirs
- Désormais intégré au projet aurifère de Willbob. 90 km de stratigraphie favorable – structures recouvertes
- Camp existant présent sur le projet



Projet Willbob-Kan

- Localisation, accès, claims
- **Géologie Fosse du Labrador**
- Histoire du projet
- Les schistes noirs comme source et puits d'or
 - Grand modèle 2012
 - Schistes noirs de la formation Baby
- Modèle structurel régional
- Indices aurifères de Willbob-Kan
- Géochimie des sols de Kan



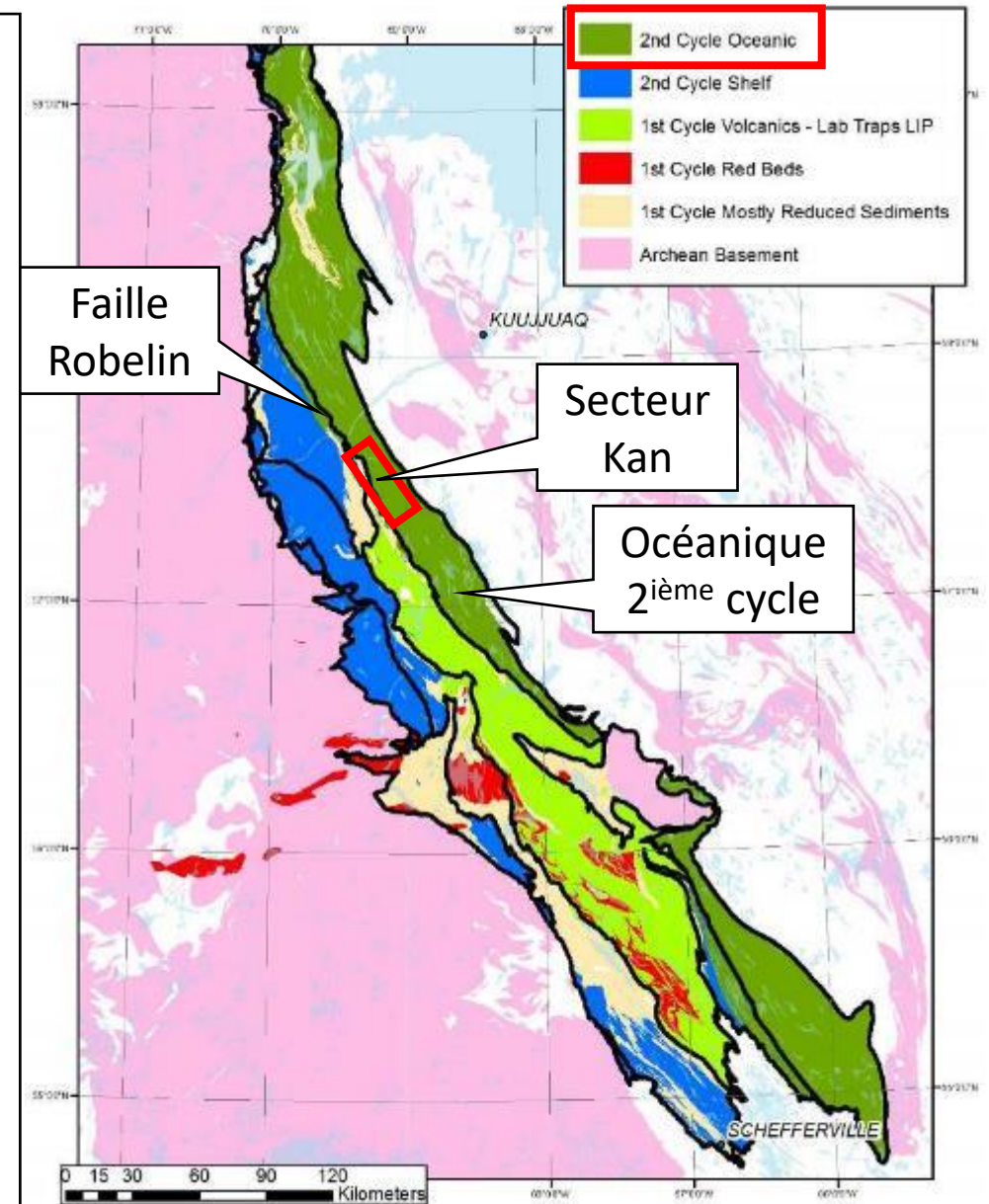
Or à partir du sol sur
l'indice de Winchester



Réseau de veines de quartz dans
une formation de fer silicatée-
carbonatée, Indice Pump Pad Ridge

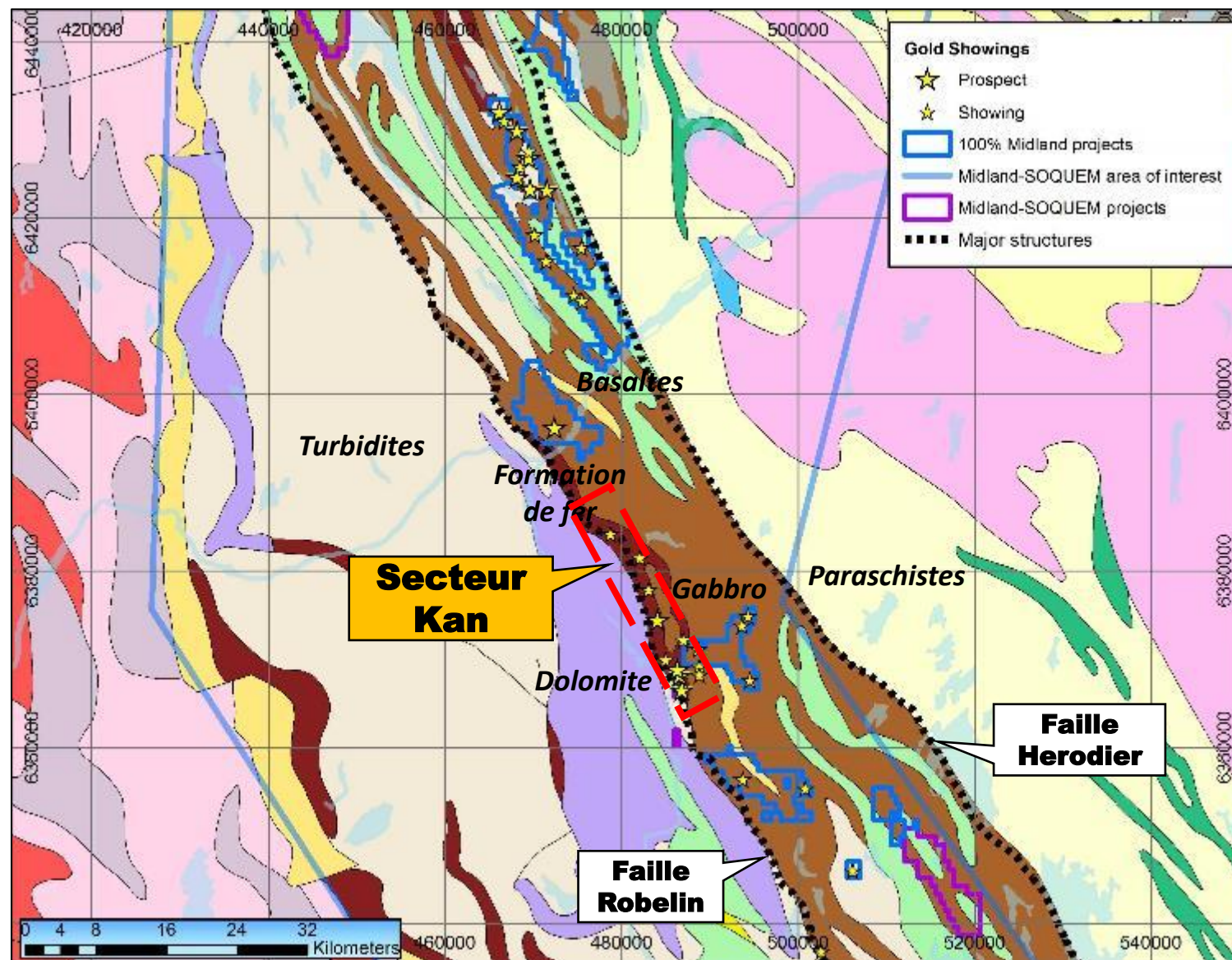
Fosse du Labrador

- Ceinture volcano-sédimentaire paléoprotérozoïque. 2 cycles
- Cycle 1: 2,2 – 2,1 Ga
 - Rift du craton supérieur.
- **Cycle 2: 1,89 – 1,87 Ga**
 - Plateau continental (ouest)
 - Conglomérats, dolomites, turbidites
 - Potentiel de formation d'oxydes de fer, Zn-Pb dans les dolomites, IOCG
 - **Séquence océanique (est) :**
 - **Volcanisme sous-marin (gabbros-basaltes), formations de fer silicatées-carbonatées, schistes noirs, turbidites**
 - **Potentiel pour les gisements (SMV), les gisements d'or orogéniques, les gisements de Ni-Cu et IOCG.**
 - **Séparé du cycle 1 / étagère par des failles majeurs - Ex : Faille de Robelin**
 - Non métamorphisé (ouest) à schiste vert supérieur (est)



Willbob-Kan - Géologie

- **Environnement très favorable à la minéralisation aurifère orogénique :**
 1. Sous-jacentes à des **gabbros/diorites** de 1,9 Ga, des **turbidites**, **des schistes noirs**, des **basaltes**, **des formations de fer** → **roches très favorables à l'or orogénique (réactives + compétentes)**
 2. **Deux structures majeures ont été identifiées à proximité du projet : 1) la faille de Robelin**, que l'on pense associée à de nombreux gisements aurifères potentiels dans la région ; **2) la faille d'Hérodier**, principale limite de terrane entre la fosse du Labrador et la zone de Rachel-Laporte
 3. **Métamorphisme de faciès schiste vert** → idéal pour l'or orogénique
 4. **Plissements et chevauchements abondants; déformation polyphasée**



Projet Willbob-Kan

- Localisation, accès, claims
- Géologie Fosse du Labrador
- **Histoire du projet**
- Les schistes noirs comme source et puits d'or
 - Grand modèle 2012
 - Schistes noirs de la formation Baby
- Modèle structurel régional
- Indices aurifères de Willbob-Kan
- Géochimie des sols de Kan



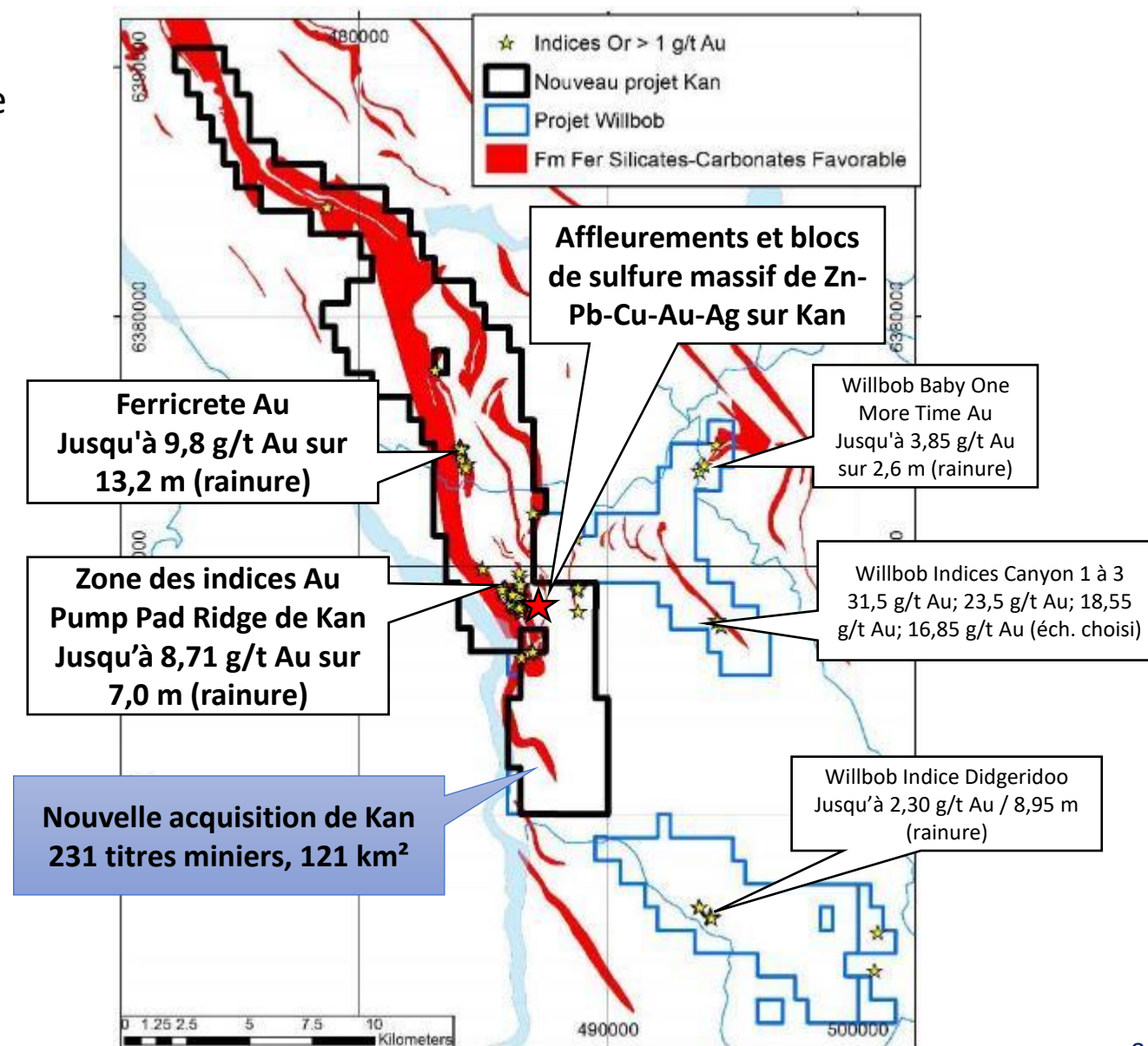
Or à partir du sol sur
l'indice de Winchester



Réseau de veines de quartz dans
une formation de fer silicatée-
carbonatée, Indice Pump Pad Ridge

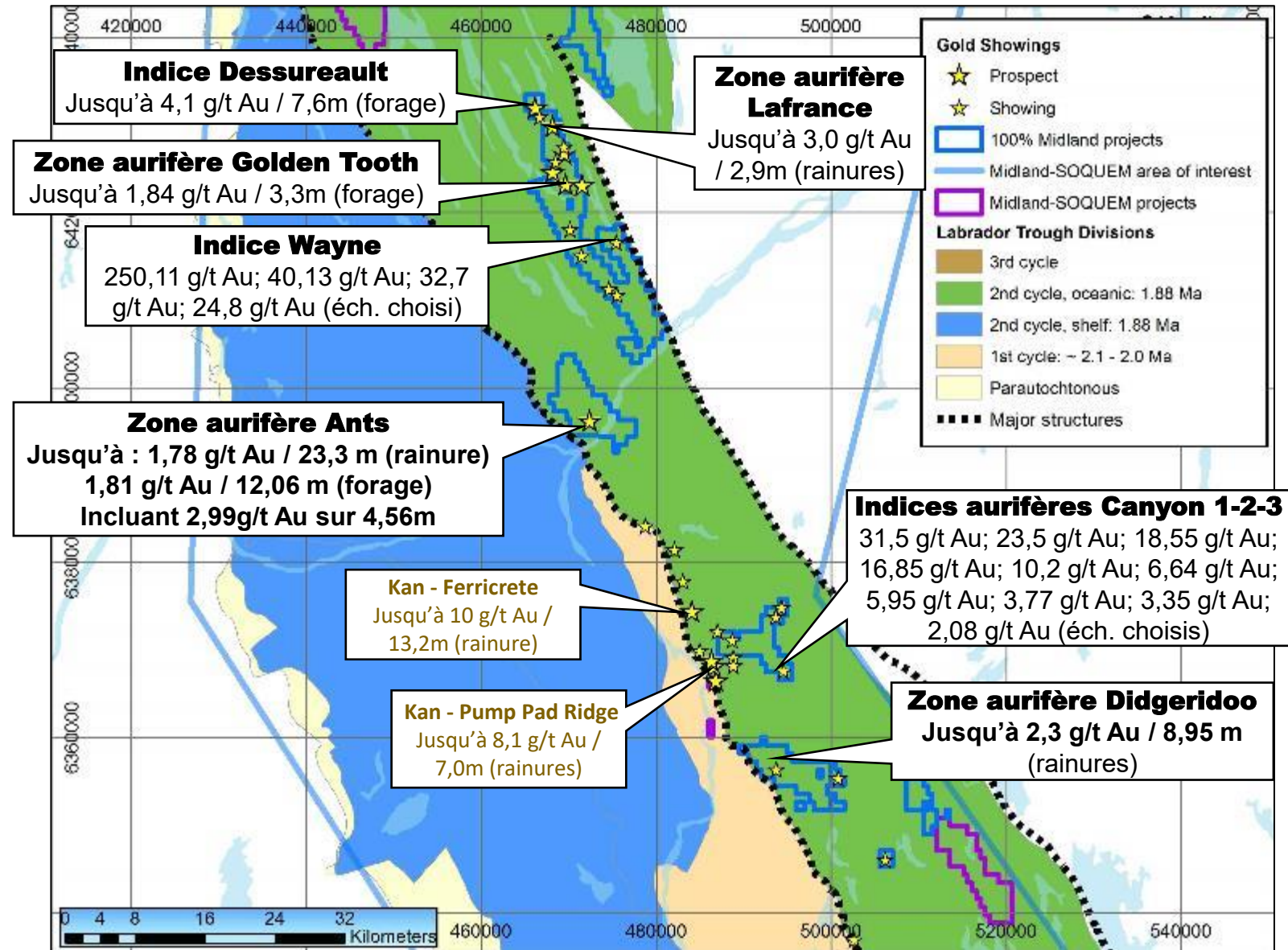
Histoire du secteur Kan

- 1960: Cominco:
 - Découverte de gisements de sulfures massifs à haute teneur en Zn-Pb-Cu-Au-Ag et de blocs erratiques
- 1993 - 2000: Kennecott / Noranda:
 - Exploration pour Zn-Pb-Cu-Au-Ag.
 - Découvertes « accidentelles » d'indices aurifères dans la formation de fer silicatée-carbonatée.
- 2011-2018: Exploration de l'or dans la formation de fer silicatée-carbonatée
 - 2011-2012: Tectonic Resources / Rio Silver
 - 2014-2016: Mines Virginia / Redevances Osisko
 - 2017-2018: Osisko / Barrick Gold.
- 2025: Acquisition du projet par Exploration Midland auprès de Tectonic Resources
- Au total, 90 trous sont prévus sur le projet, dont 39 pour les métaux de base, profondeur moyenne de 168 m, profondeur maximale de 604 m, total de 11 955 m.



Histoire du secteur Willbob

- Entre 2015 et 2019, Midland a découvert plus de 40 indices et de prospect d'or, répartis sur plus de 95 kilomètres dans les roches de deuxième cycle de la Fosse du Labrador
- Des indices aurifères ont été découverts dans la partie océanique de la fosse du Labrador.
- Le projet a eu un nombre limité de forage.



Projet Willbob-Kan

- Localisation, accès, claims
- Géologie Fosse du Labrador
- Histoire du projet
- **Les schistes noirs comme source et puits d'or**
 - **Grand modèle 2012**
 - **Schistes noirs de la formation Baby**
- Modèle structurel régional
- Indices aurifères de Willbob-Kan
- Géochimie des sols de Kan



Or à partir du sol sur
l'indice de Winchester



Réseau de veines de quartz dans
une formation de fer silicatée-
carbonatée, Indice Pump Pad Ridge

Gisements d'or dans les séquences sédimentaires

- Large et al, 2011 : Les roches sédimentaires carbonées étaient une source d'**Au et d'As** dans les gisements d'Au orogéniques hébergés dans les sédiments.
- « Dans un modèle à deux étapes à l'échelle du bassin, l'or et l'arsenic sont introduits précocement dans les bassins de schistes noirs et de turbidites lors de la sédimentation et de la diagenèse (étape 1) et se concentrent plus tard en teneurs minéralisées par des processus hydrothermaux, structuraux ou magmatiques ultérieurs (étape 2) » (soit dans des schistes noirs structurellement plus élevés, soit dans d'autres roches hôtes favorables).
- Au (et As, S, Sb...) des schistes noirs est libéré lors de la transition de la pyrite à la pyrrhotite des schistes noirs subissant des **conditions métamorphiques de schiste vert supérieur à amphibolite**.
- **C'est ce modèle qui a incité Barrick à s'impliquer dans le projet en 2017.**

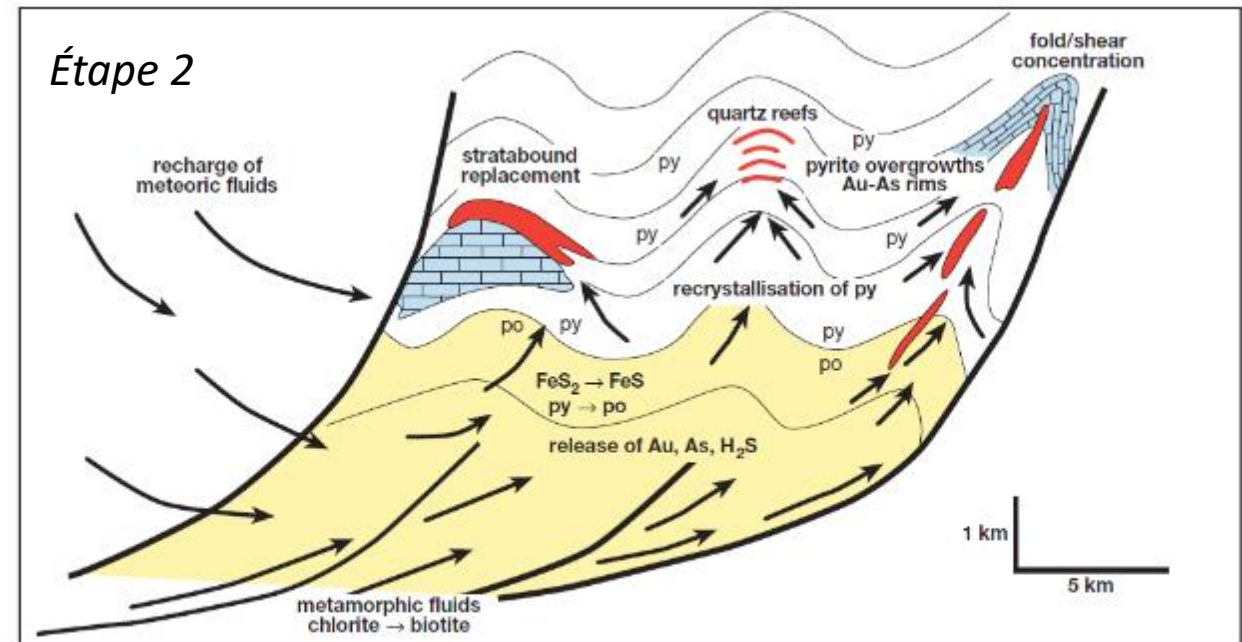
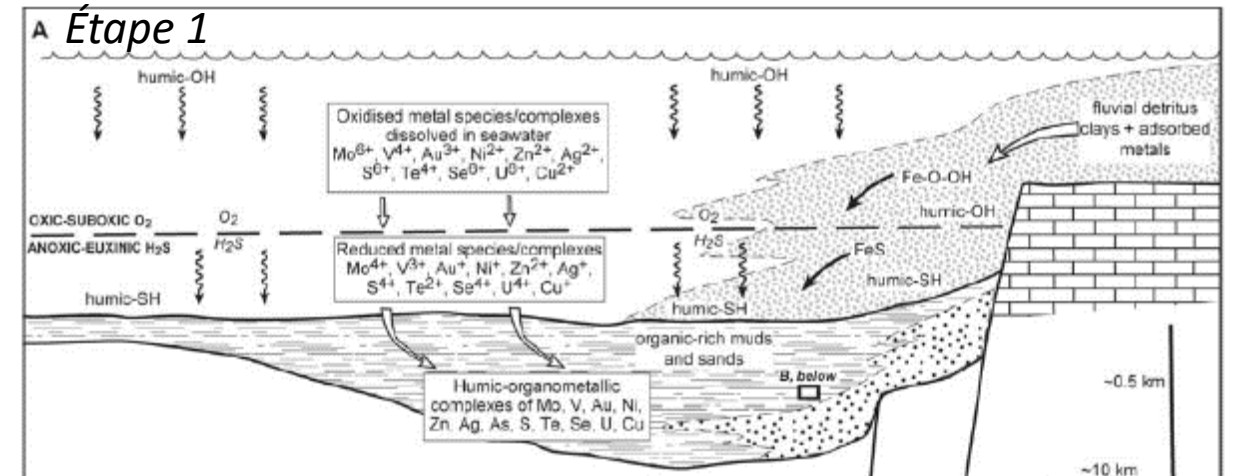


FIG. 13. Model showing potential meteoric and metamorphic fluid pathways; gold, arsenic, and sulfur is released from the carbonaceous sediments by conversion of sedimentary pyrite to pyrrhotite deeper in the basin (mid to upper greenschist facies). Gold and arsenic are deposited in the upper stratigraphy, associated with focusing of fluids along faults and into anticlinal zones or shears, and along favorable rock contacts. Pyrite overgrowth textures, and Au-As-rich rims, are common in the zones of gold concentration.

Quelques principaux gisements et districts d'or-arsenic encaissés dans des sédiments (modifié d'après Large et al., 2011)

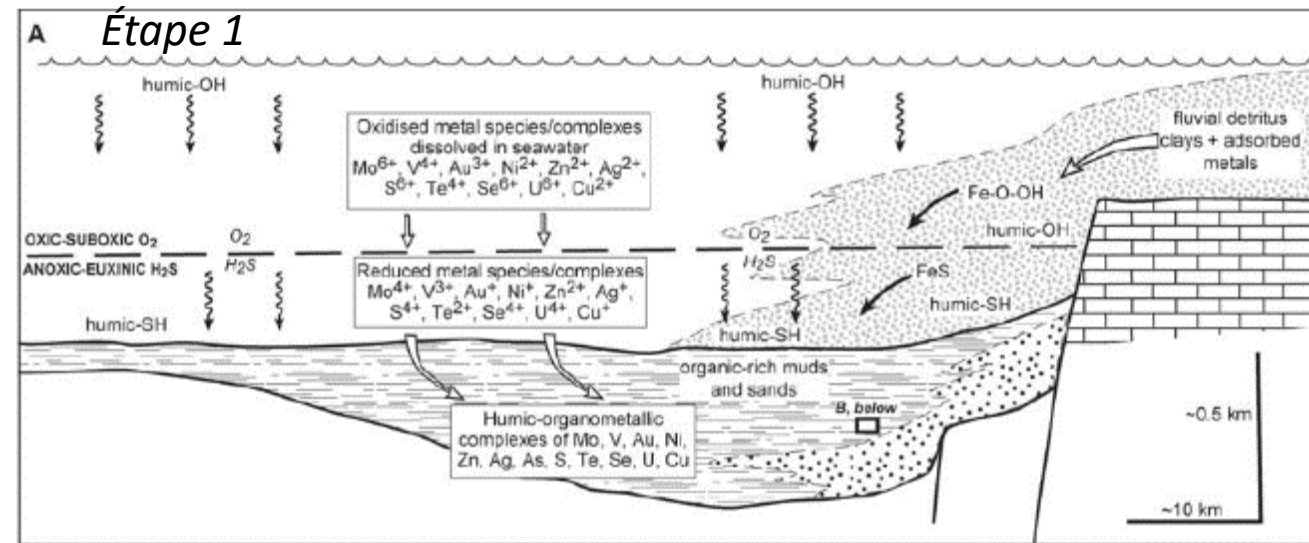
- Certains des plus grands gisements d'or du monde se trouvent soit **dans des schistes noirs** (Sukhoi Log, Olimpiada), soit à **proximité de schistes noirs, ces derniers étant interprétés comme la source de l'or** (Homestake).
- Très gros gisements d'or !

Gisement	Localisation	Au MOz	Au teneur g/t	Unités lithologiques sédimentaires
Bendigo	SE Australie	18	12,9	Grès, mudstone carboné
Sukhoi Log	Bordure du craton sibérien	64	2,8	Mudstone carboné, siltstone
Olimpiada	Bordure du craton sibérien	16	10,9	Schistes, ardoises carbonées
Homestake	Trans-Hudson USA	41	8,3	Formation de fer, métasédiments

Large et al, 2011

Schistes noirs favorables pour Au-As

- Pour identifier les schistes noirs favorables, riches en matières organiques et en métaux, Large et al. suggèrent d'utiliser un « V-score » :
- Le V-score prend en compte d'autres métaux présents en plus de Au, As, S dans les schistes, mais qui ont tendance à rester piégés dans la roche lors du métamorphisme, contrairement à Au, As et S qui sont libérés.
- **V score = V + Mo + Ni + Zn varie de 250 à plus de 1 000 ppm.**
- **V-Score modifié ici pour enlever le Zn (SMV / signatures exhalatoires)**
- Les meilleures roches mères de schiste contiennent
 - **Teneur en or d'au moins 5 ppb, pouvant atteindre plus de 100 ppb.**
 - As varie de 10 à plus de 100 ppm, avec une moyenne d'environ **30 à 50 ppm.**



Large et al, 2011

V-Score et teneur en métaux

- Données sur les schistes noirs de la Fm. Baby provenant des forages 1999-2000 de Kan (322 échantillons)
- Comparativement aux unités de schistes noirs associées aux gisements aurifères (Large et al., 2011)
- Les schistes noirs de la formation Baby ont une valeur médiane de **19 ppb d'or**.
 - **Abondance crustale 13x supérieure**
 - **2,7x la moyenne des schistes noirs**
 - **Schistes noirs similaires associés à l'or**
 - **Bien plus élevé que les >5 ppb Au nécessaires mentionnés par Large et al., 2011.**
- Les schistes de la formation Baby sont également favorables en termes de V-Score modifié : riches en Mo, V et Ni. Ils sont également riches en As, Co, U, Ag, S, etc.
- **Schistes de la formation Baby : très bonne source d'or orogénique.**
- Une unité de schiste noir est particulièrement enrichie en Au, As, Mo, Ni, V et Zn – Lien entre Au et matière organique

Données	As	Au	Mo	Ni	V	V-Score Mod	Zn
<i>Unité supérieure de boue calcaire noire de la form. Popovich, Faille Carlin</i>	50	6	120	235	2 190	2 545	1 900
<u>Unité de schiste noir médiane, fortement anormale, Kan n=29</u>	<u>92</u>	<u>37,5</u>	<u>109</u>	<u>273</u>	<u>993</u>	<u>1 374</u>	<u>2 110</u>
<i>Argile calcaire noire de la formation Roberts Mt, Carlin</i>	35	46	16	29	378	423	446
Schiste noir médian Fm Baby n=293	<u>54</u>	<u>19</u>	<u>18</u>	<u>139</u>	<u>222</u>	<u>379</u>	<u>704</u>
<i>Schiste noir pyriteux de la formation de Khomolko, Sukhoi Log</i>	142	31	30	96	108	234	274
Schiste noir moyen mondial médian	30	7	20	70	205	295	130
Croûte continentale supérieure	4.8	1,5	1,1	47	97	147	67

*Données sur la formation Baby issues des forages de Kan
Autres données de Large et al., 2011*

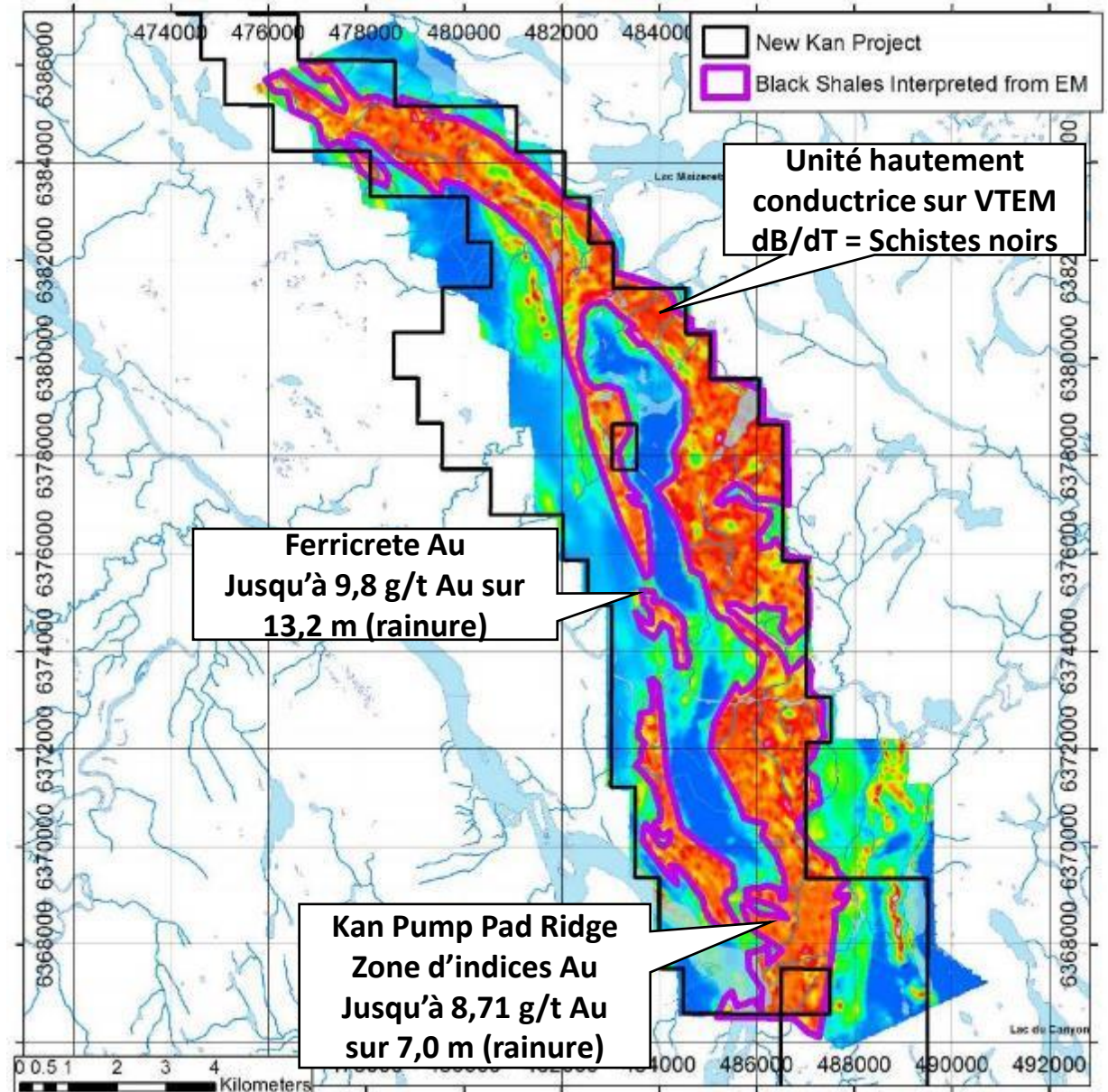
Kan - Enquête VTEM dB/dT 2011

D'après une étude VTEM réalisée en 2011, les zones de schistes noirs forment de vastes zones de roches fortement conductrices.

Il est confirmé que ces zones sont composées de schistes noirs par des forages effectués dans la zone de Pump Pad Ridge.

Cela signifie que les schistes noirs ont un volume très important... **le volume est important car il s'agit de la roche mère potentielle de l'or orogénique.**

La majorité des schistes noirs de la base de données analysés pour le soufre (S) présentent une teneur en S supérieure à la limite de détection ICP → > 10 % S → ce qui équivaut à 20-30 % de pyrrhotite ou de pyrite. On y trouve également beaucoup de graphite.



L'or associé aux schistes noirs

- Ce modèle de schistes noirs riches en or comme source d'or dans les principaux gisements orogéniques, appliqué à la région de Kan, a été la raison principale de l'implication de Barrick dans le projet en 2017-2018.

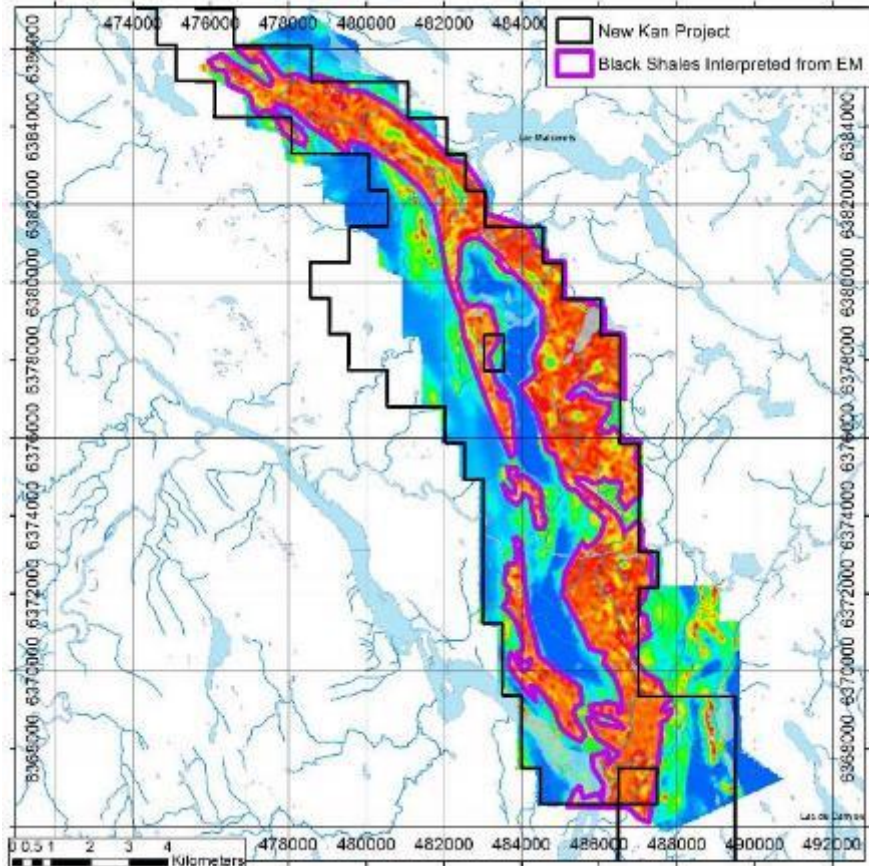
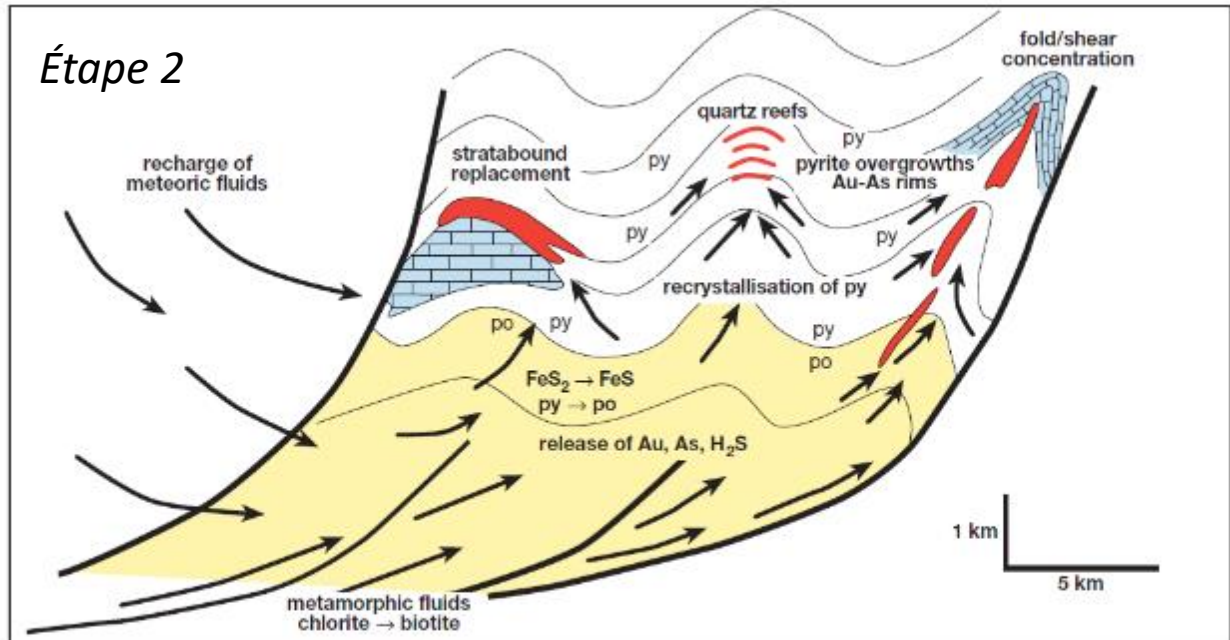
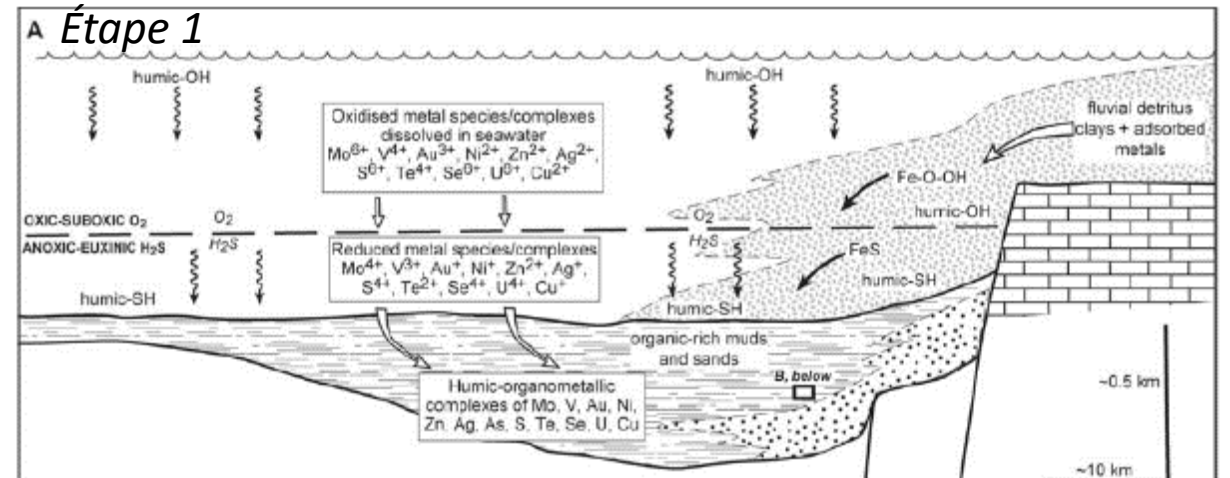


FIG. 13. Model showing potential meteoric and metamorphic fluid pathways; gold, arsenic, and sulfur is released from the carbonaceous sediments by conversion of sedimentary pyrite to pyrrhotite deeper in the basin (mid to upper greenschist facies). Gold and arsenic are deposited in the upper stratigraphy, associated with focusing of fluids along faults and into anticlinal zones or shears, and along favorable rock contacts. Pyrite overgrowth textures, and Au-As-rich rims, are common in the zones of gold concentration.

Projet Willbob-Kan

- Localisation, accès, claims
- Géologie Fosse du Labrador
- Histoire du projet
- Les schistes noirs comme source et puits d'or
 - Grand modèle 2012
 - Schistes noirs de la formation Baby
- **Modèle structurel régional**
- Indices aurifères de Willbob-Kan
- Géochimie des sols de Kan



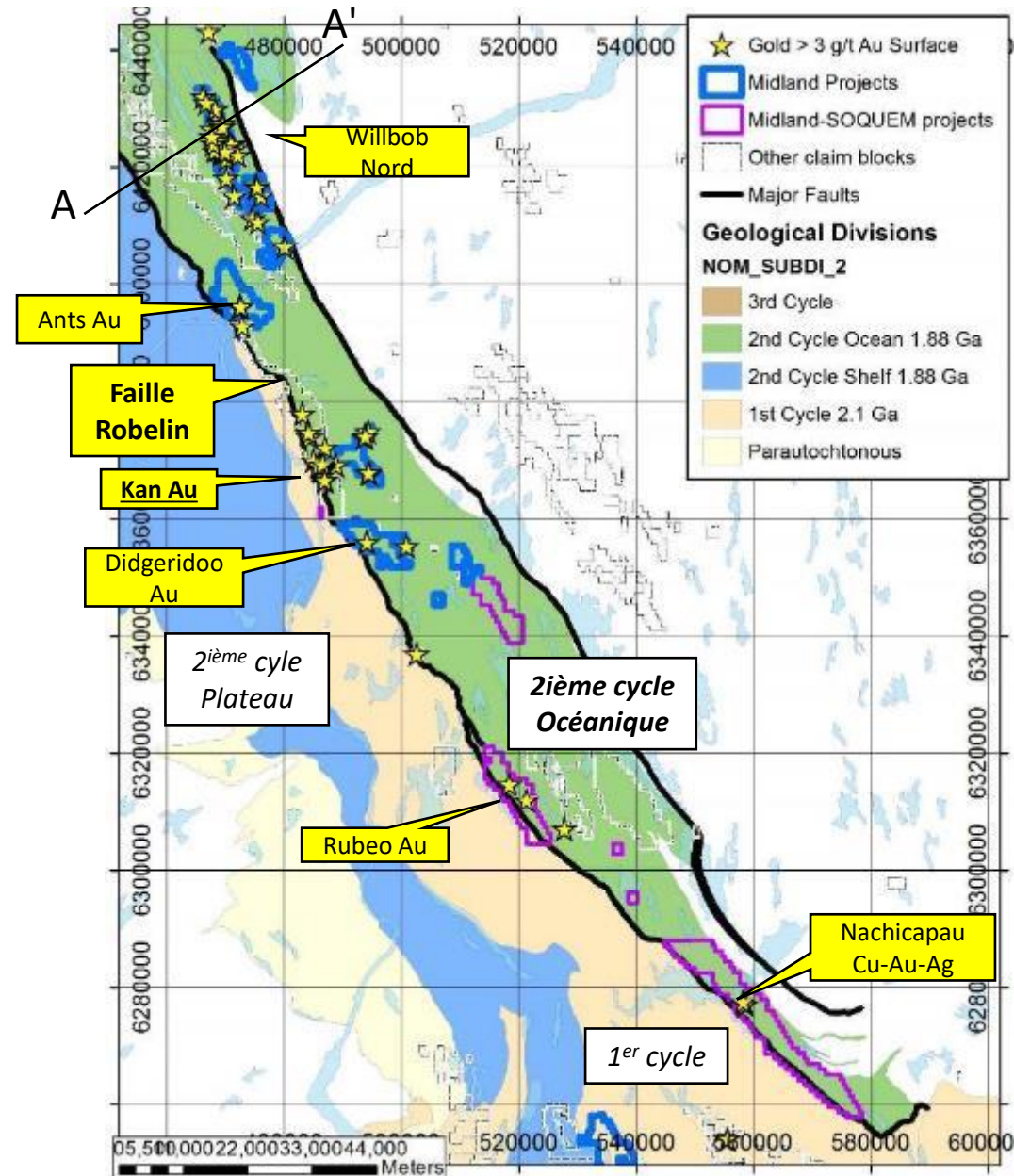
Or à partir du sol sur
l'indice de Winchester



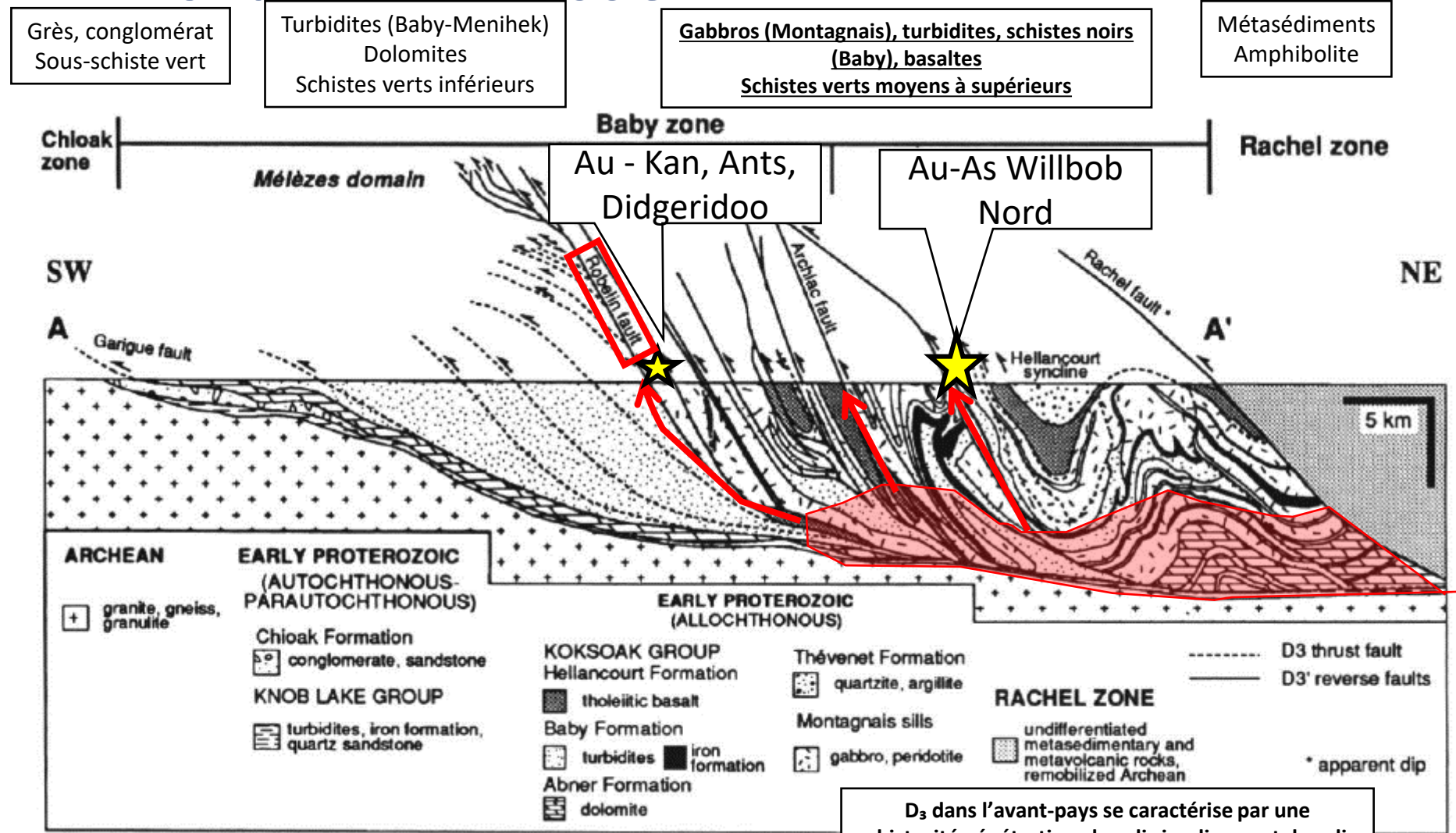
Réseau de veines de quartz dans
une formation de fer silicatée-
carbonatée, Indice Pump Pad Ridge

Minéralisation orogénique dans le nord de la Fosse

- La minéralisation aurifère la plus importante se trouve dans les roches océaniques du 2e cycle, en particulier près de la faille majeure de Robelin (compartiment supérieur de la faille).
- Kan, Ants, Didgeridoo, Rubeo, Nachicapau tous situés à moins de 3km de la faille
- **Séparer deux domaines lithotectoniques** : les sédiments océaniques du 2e cycle (à l'est) des sédiments du 2e cycle ou du 1er cycle de la plateforme continentale (à l'ouest).
- Nachicapau est une minéralisation Cu-Au-Ag tarditectonique, rétrograde dans les zones de cisaillement/veines de tension, possiblement associée à des dykes de monzonite tardifs injectés dans et à proximité de la faille de Robelin.
- La faille de Robelin semble être le métallotecte de premier ordre le plus important pour l'or orogénique dans la fosse du Labrador.



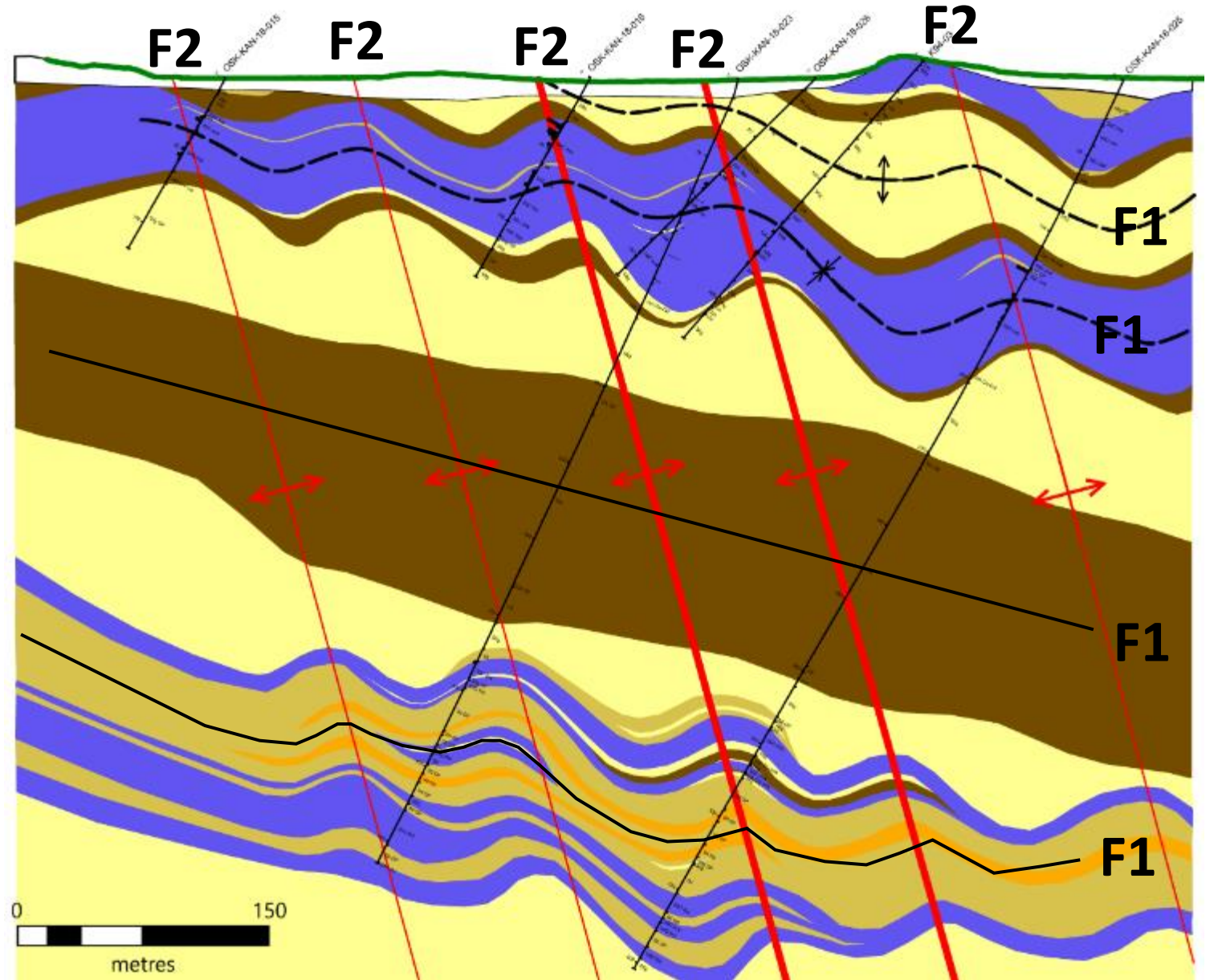
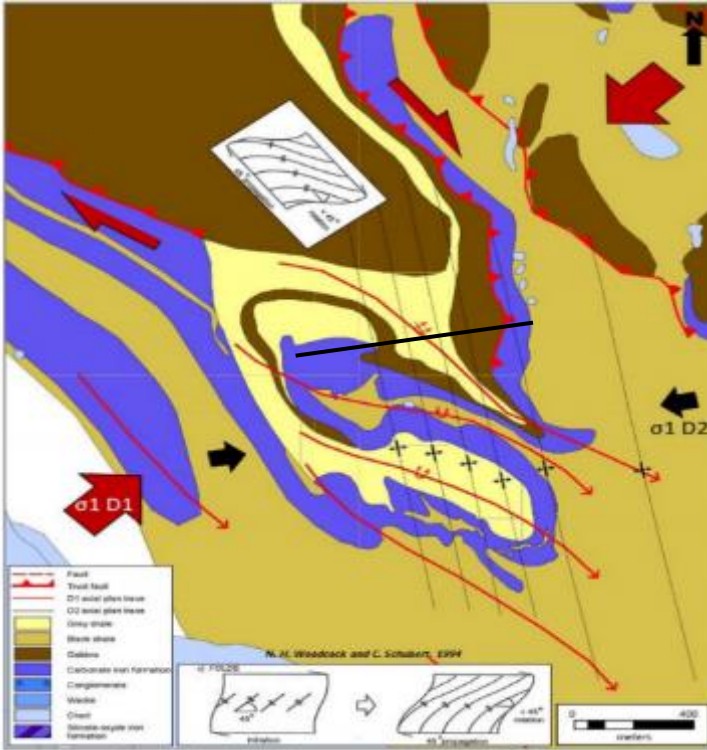
Coupe lithostructurale actuelle de la section nord de la Fosse



Les indices aurifères les plus importants se situent près de la faille de Robelin, qui sépare les sédiments océaniques de deuxième cycle des sédiments de deuxième cycle ou de premier cycle de la plate-forme continentale.

D₃ dans l'avant-pays se caractérise par une schistosité pénétrative, des plis isoclinaux et des plis en gaine qui sont limités aux unités sédimentaires pélitiques, sauf près de la limite orientale de la zone de Baby où le plissement a impliqué les filons-couches gabbroïques plus compétents.

Modèle structurel local Pump Pad Ridge



- D1: Déformation transpressive dextre formant les structures apparentes sur la carte, plis NE-SO et couchés
- D2: Déformation est-ouest, plis ouverts droits, dont les axes de pli dépendent de D1
- L'or associé à D2, dans les anticlinaux F2 (ex mis en évidence ici)... ?
- (De Hebert, 2022)

Projet Willbob-Kan

- Localisation, accès, claims
- Géologie Fosse du Labrador
- Histoire du projet
- Les schistes noirs comme source et puits d'or
 - Grand modèle 2012
 - Schistes noirs de la formation Baby
- Modèle structurel régional
- **Indices aurifères de Willbob-Kan**
- Géochimie des sols de Kan



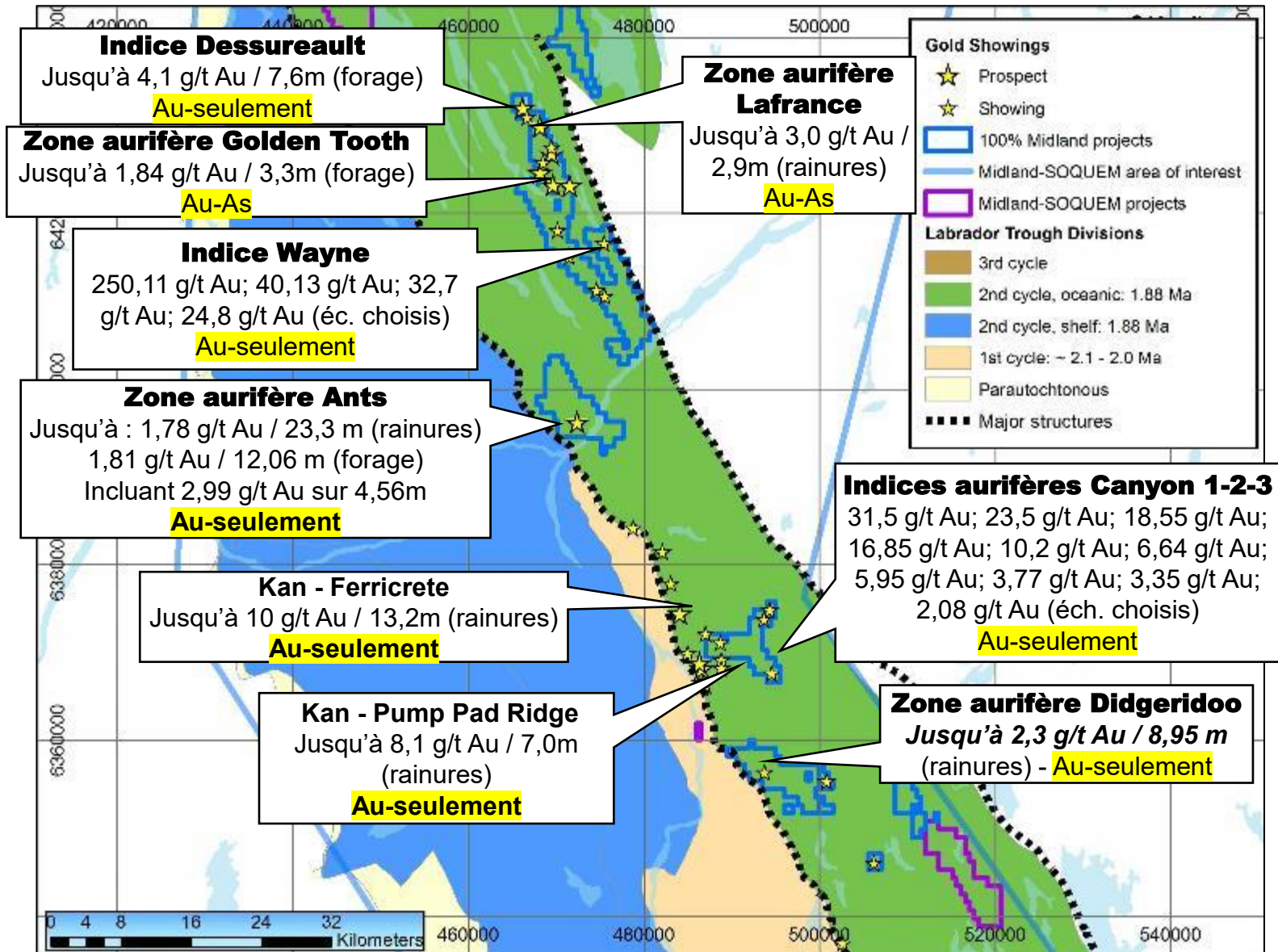
Or à partir du sol sur
l'indice de Winchester



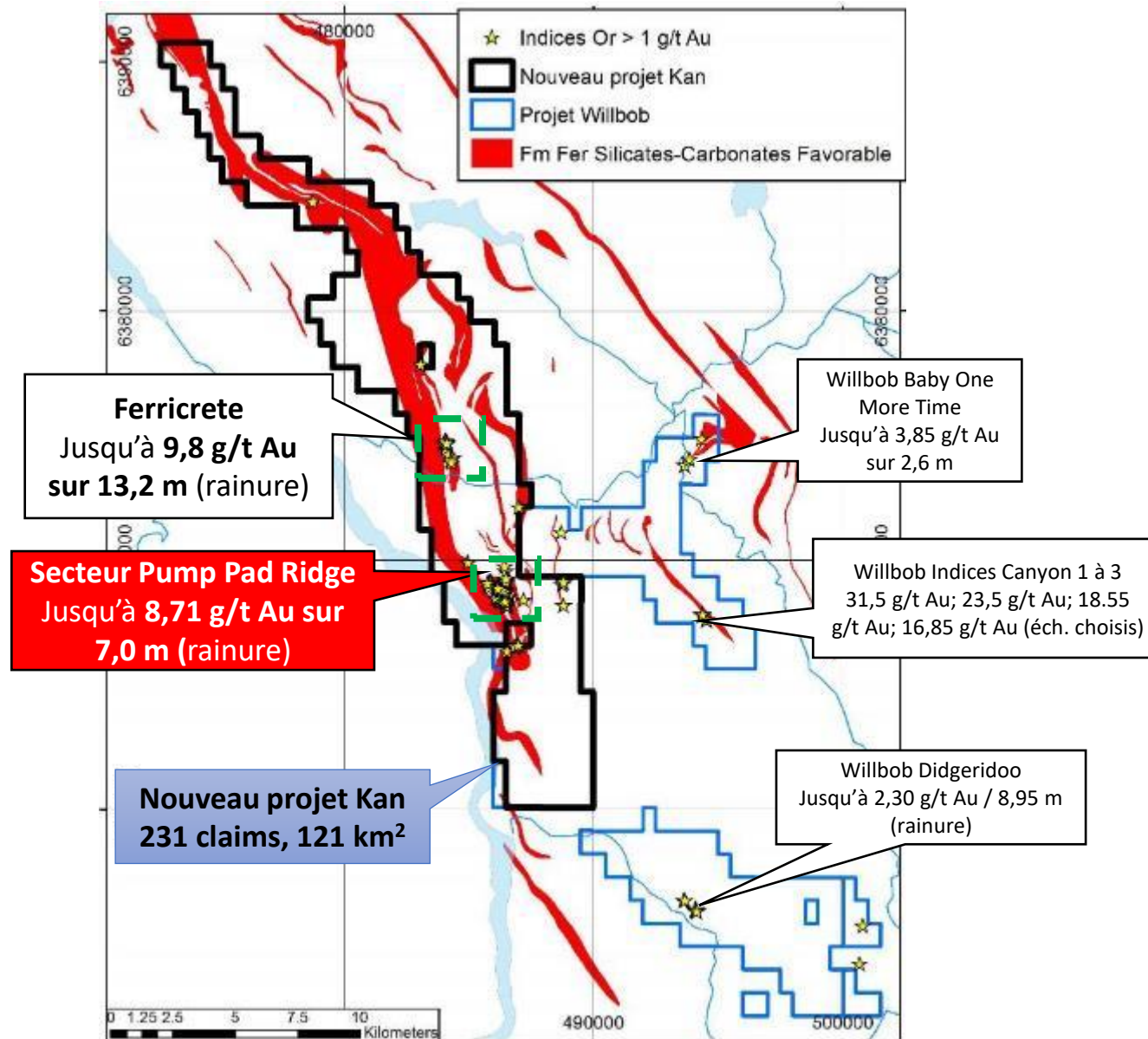
Réseau de veines de quartz dans
une formation de fer silicatée-
carbonatée, Indice Pump Pad Ridge

Indices aurifères Willbob-Kan

- Willbob : présence d'or dans les parties supérieures différenciées (diorite, diorite quartzique) des filons-couches de gabbro synvolcaniques
 - Au-seulement, Au-As, (Au-Ag-Cu), (Au-Ag-Pb-Zn)
- Kan: Présence d'or dans une formation de fer silicatée-carbonatée
 - Au-seulement, (Au-As)



Secteur Pump Pad Ridge



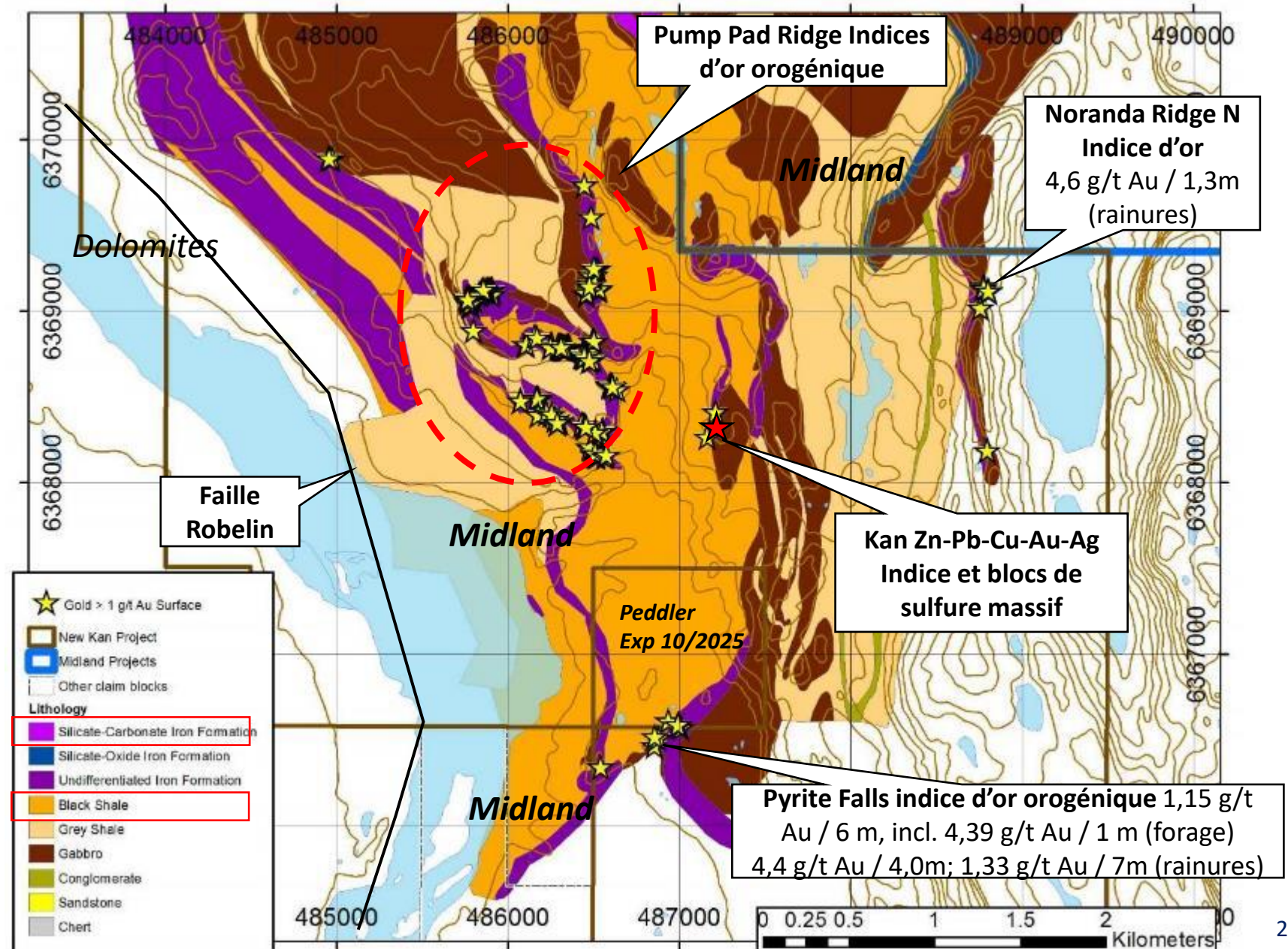
Kan -Secteur Pump Pad Ridge - Géologie

Séquence complexe et plissée de formations de fer, schistes noirs, turbidites, gabbros

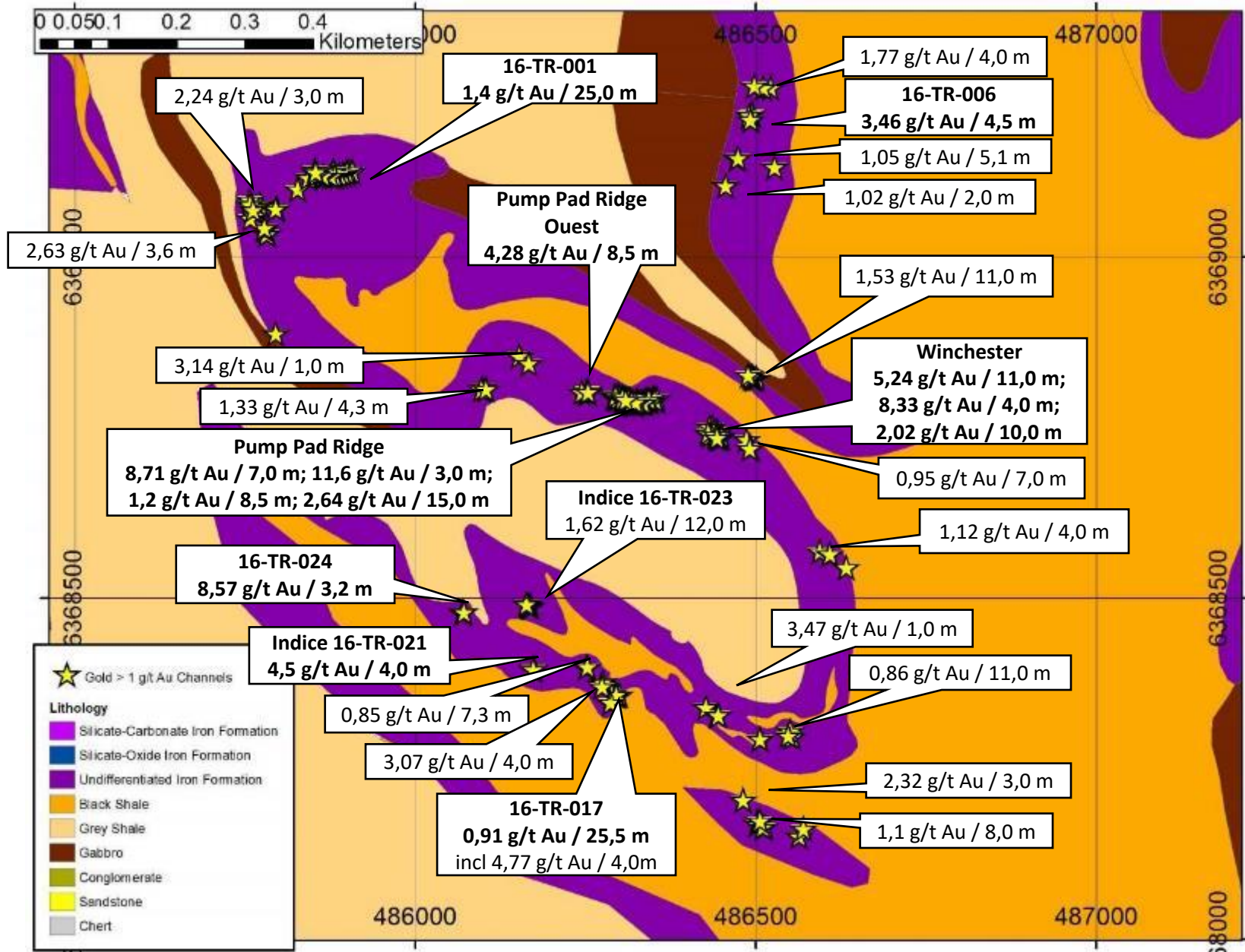
La faille de Robelin est interprétée comme étant située juste à l'ouest (présence de dolomites et de basalte de premier cycle juste à l'ouest) – N'A PAS ÉTÉ TESTÉE EN FORAGE

Indices Au dans les formations de fer

Gisement SMV de Zinc-plomb-cuivre-argent-or



Kan – Région Pump Pad Ridge – Au dans les rainures

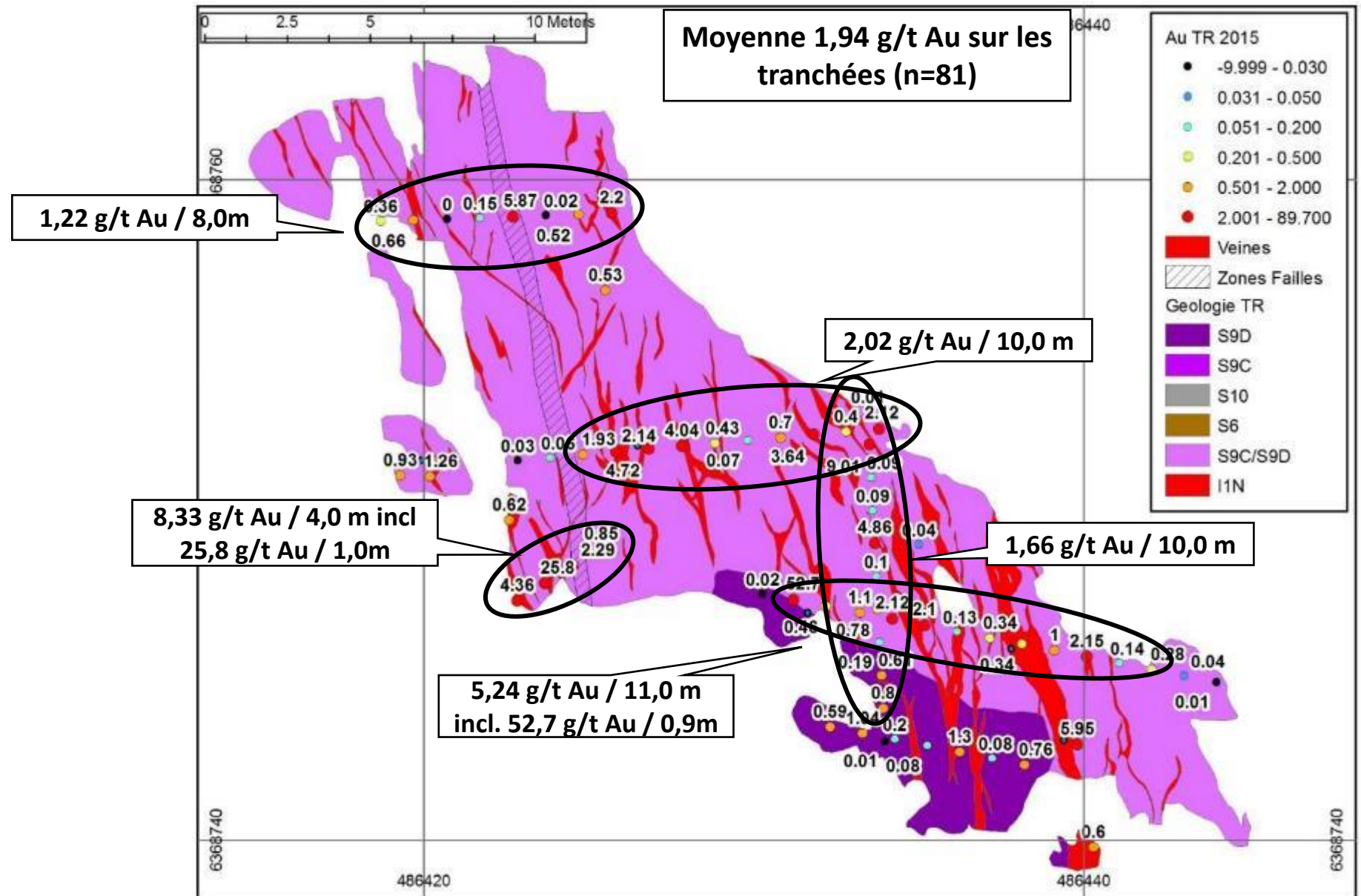


Kan - Winchester – Au dans les rainures

Notez que dans de nombreuses tranchées de la région de Pump Pad Ridge, des rainures ont été creusés dans deux directions différentes.

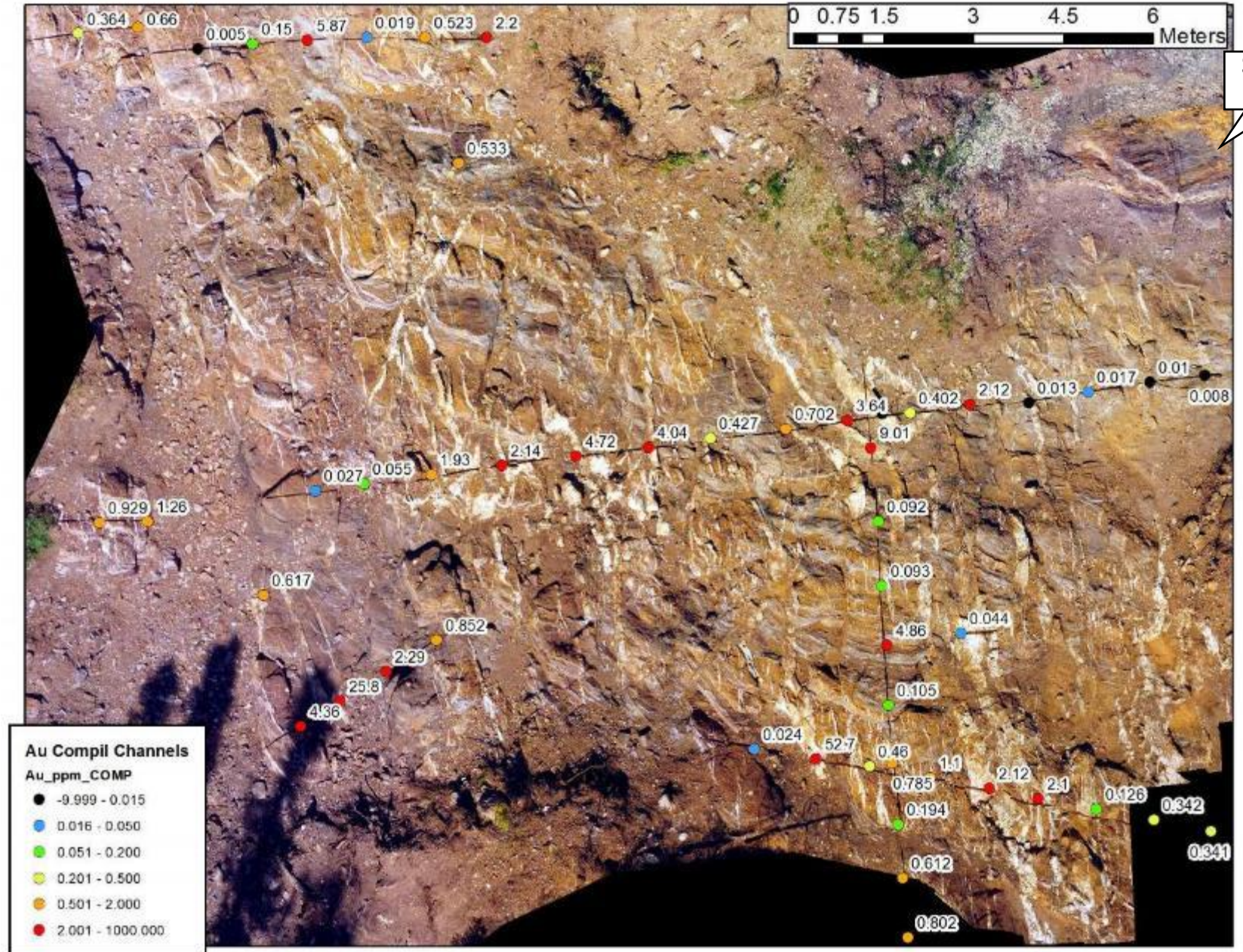
Ex: à l'indice Winchester

- La formation de fer s'étend d'E-O avec un faible pendage vers le NE
- La plupart des veines sont orientées NS et présentent un fort pendage.



Kan - Winchester – Vue du drone

Photo prise par drone
avec des échantillons
superposés



Indice Winchester – Vue du sud

Réseau de veines N-S
sur une formation de fer
à faible pendage E-O



Indice Winchester

Jusqu'à 10,5 g/t Au sur 5 m (rainure). Formation de fer silicatée-carbonatée avec de nombreuses veines de quartz.



Indice Winchester – Or visible

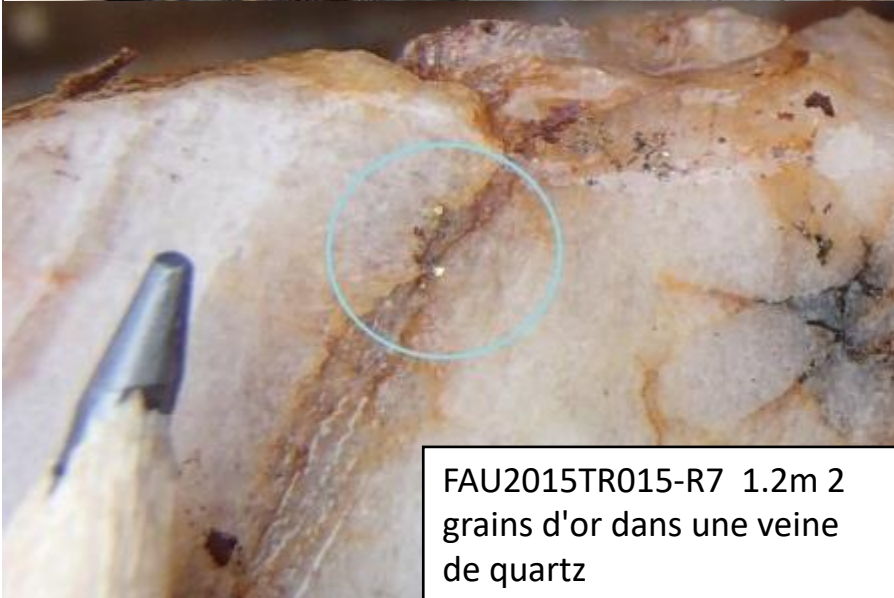
FAU2015TR015-R4 7.9m Or visible dans la roche encaissante d'une veine de Qtz-Po-Ank-Chl



Or visible dans les rainures



FAU2015TR015-R6 2.3m
Amas de 9 grains d'or



FAU2015TR015-R7 1.2m 2
grains d'or dans une veine
de quartz



FAU2015TR015-R1 Or visible
dans la veine de quartz

Région Pump Pad Ridge – Or visible dans les carottes



KAN-18-009, 193,9 m. Or visible dans la veine QtZ-Ank-Po-Chl.



FAU-16-002. Or visible dans la veine de Qtz-Po.



FAU-16-009. Or visible dans la veine de Qtz-Po.



KAN-18-016, 41.8 m. Or visible dans la veine QtZ-Ank-Po-Chl.

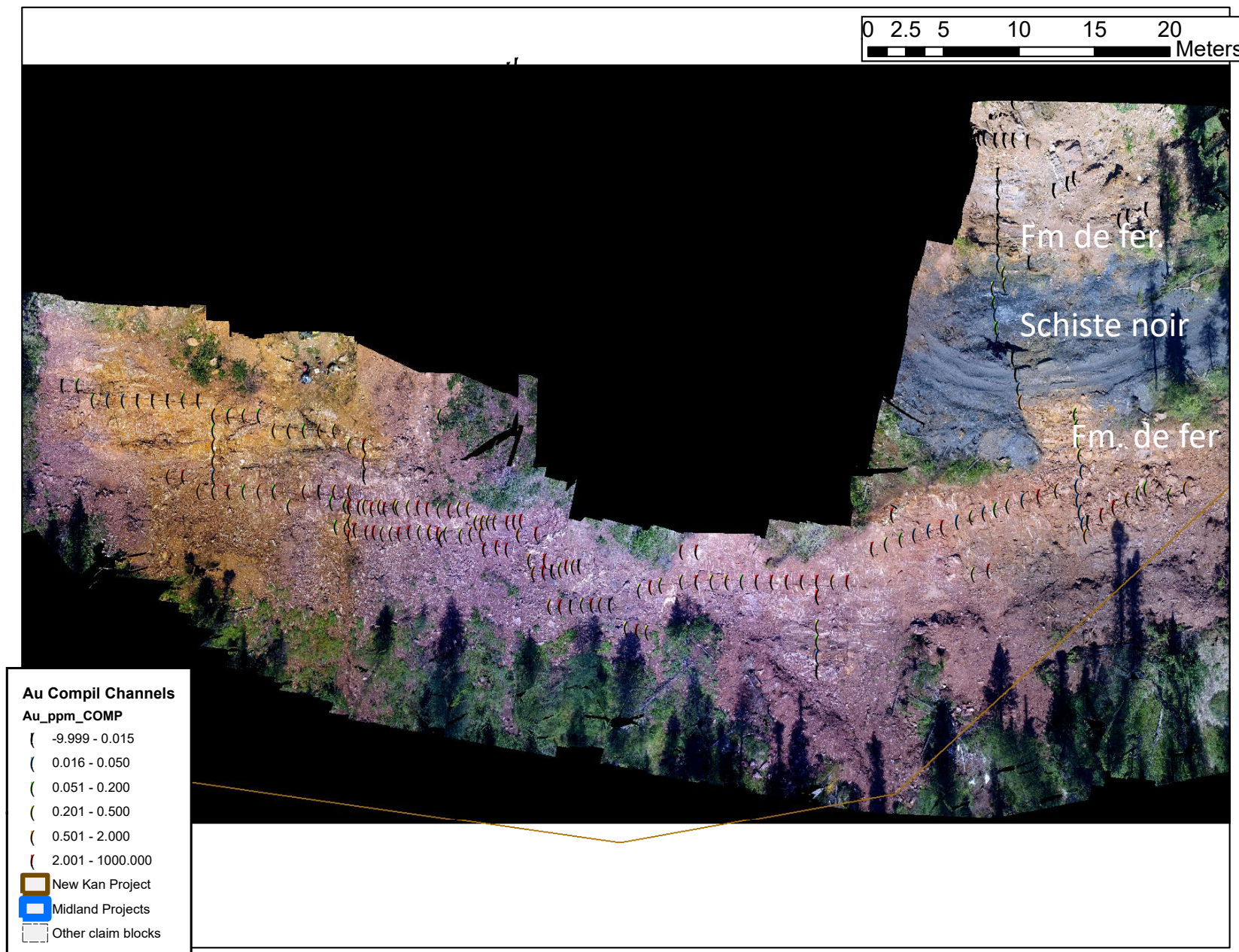
Or visible dans les carottes de forage - Pump Pad Ridge

Pump Pad Ridge – Vue du drone

Notez que dans de nombreuses tranchées de la zone Pump Pad Ridge, des rainures ont été creusés dans deux directions différentes.

Ex: à l'Indice Pump Pad Ridge

- La formation de fer s'oriente E-O avec un faible pendage vers le N.
- Les veines sont des récifs en selle présentant des composantes E-O et N-S

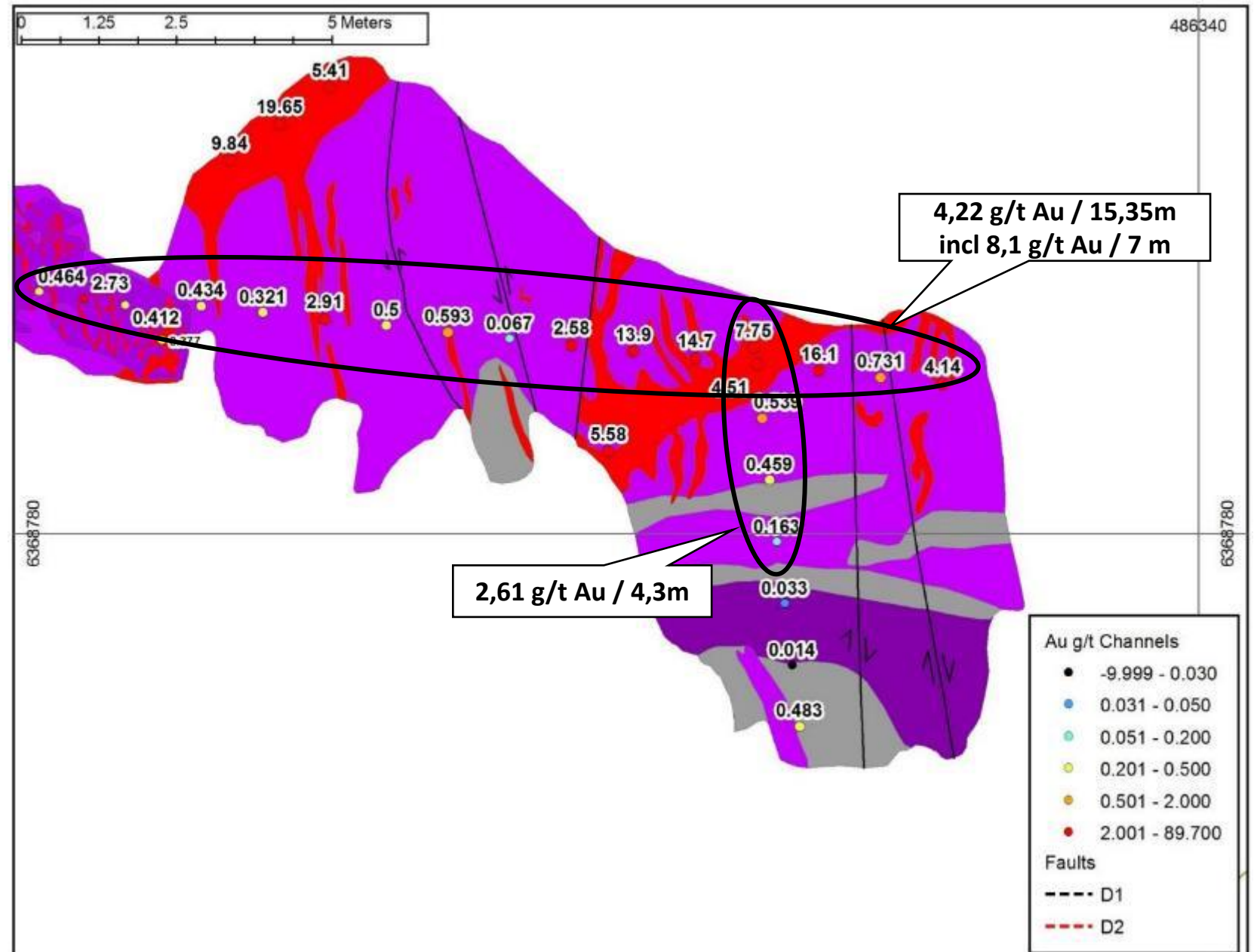


Pump Pad Ridge Est – Rainures Au

Notez que dans de nombreuses tranchées de la zone Pump Pad Ridge, des rainures ont été creusés dans deux directions différentes.

Ex: à l'indice Pump Pad Ridge

- La formation de fer s'oriente E-O avec un faible pendage vers le N.
- Les veines sont des récifs en selle présentant des composantes E-O et N-S



Indice Pump Pad Ridge - Drone

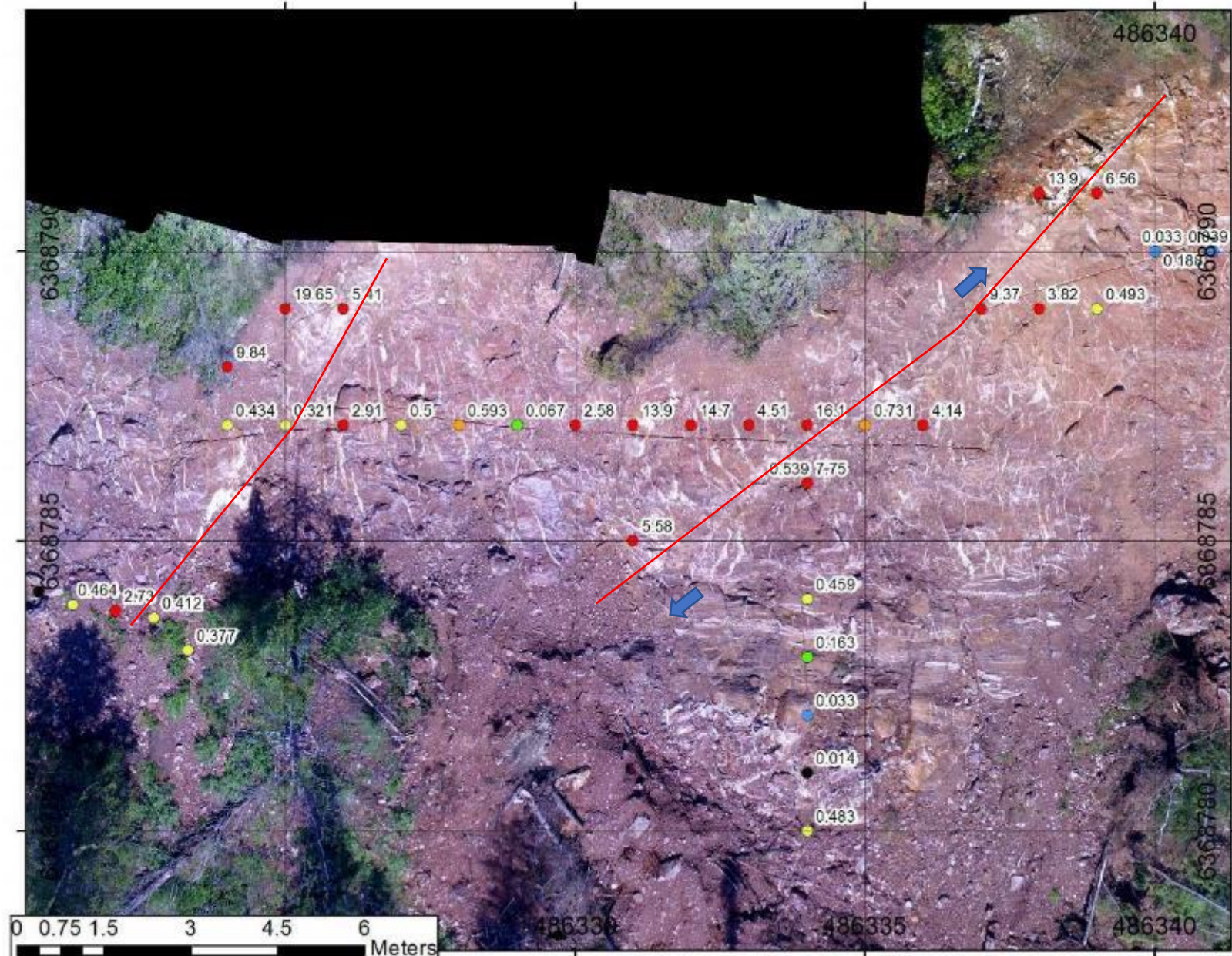
Notez la forte densité des veines de quartz.

Vue aérienne par drone avec superposition des valeurs d'or dans les rainures

Semble montrer des zones de cisaillement dextres NE-SO avec des veines de tension NNW-SSE de chaque côté

Ces zones présentent des teneurs élevées en or. Évitez de suivre la majeure partie des veines, qui doivent être sous tension.

Peut-être quelque chose qui a échappé à Barrick ?

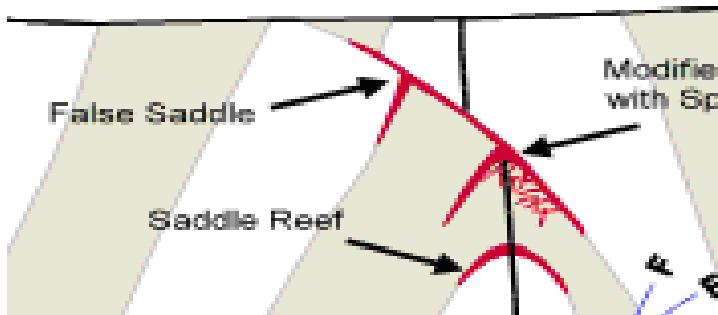
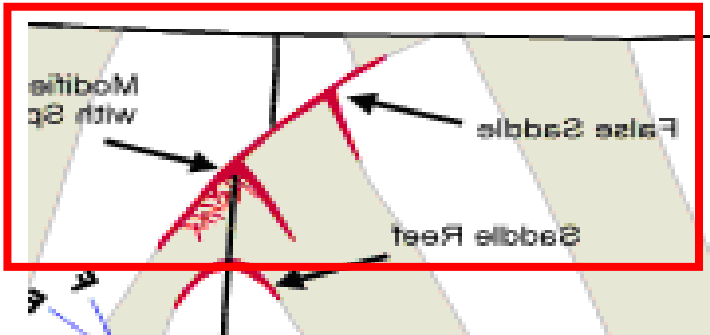


Indice Pump Pad Ridge

Faïlle

Veines de quartz altérées par l'ankérite (orange) dans une faille de sidérite-ankérite (orange-rouge).

Zone de faille avec veines en selle.



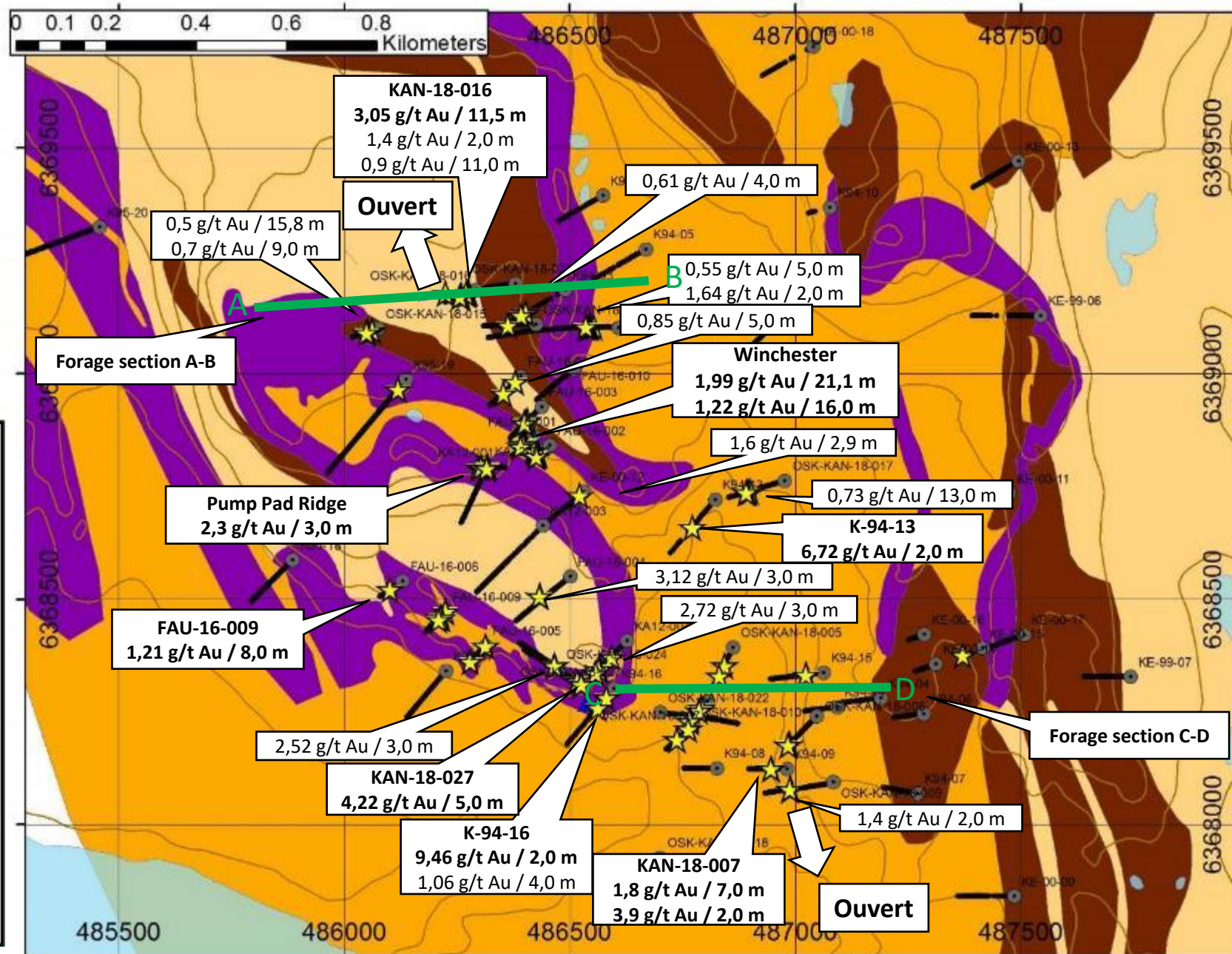
Indice Pump Pad Ridge

Pump Pad Ridge –Zone de silicification intense dans des veines stratiformes présentant des cisaillements NNW-SSE contenant des veines de quartz.

Éventuellement un pli F1 E-O replié par des plis F2 N-S.



Région Pump Pad Ridge – Au dans les forages



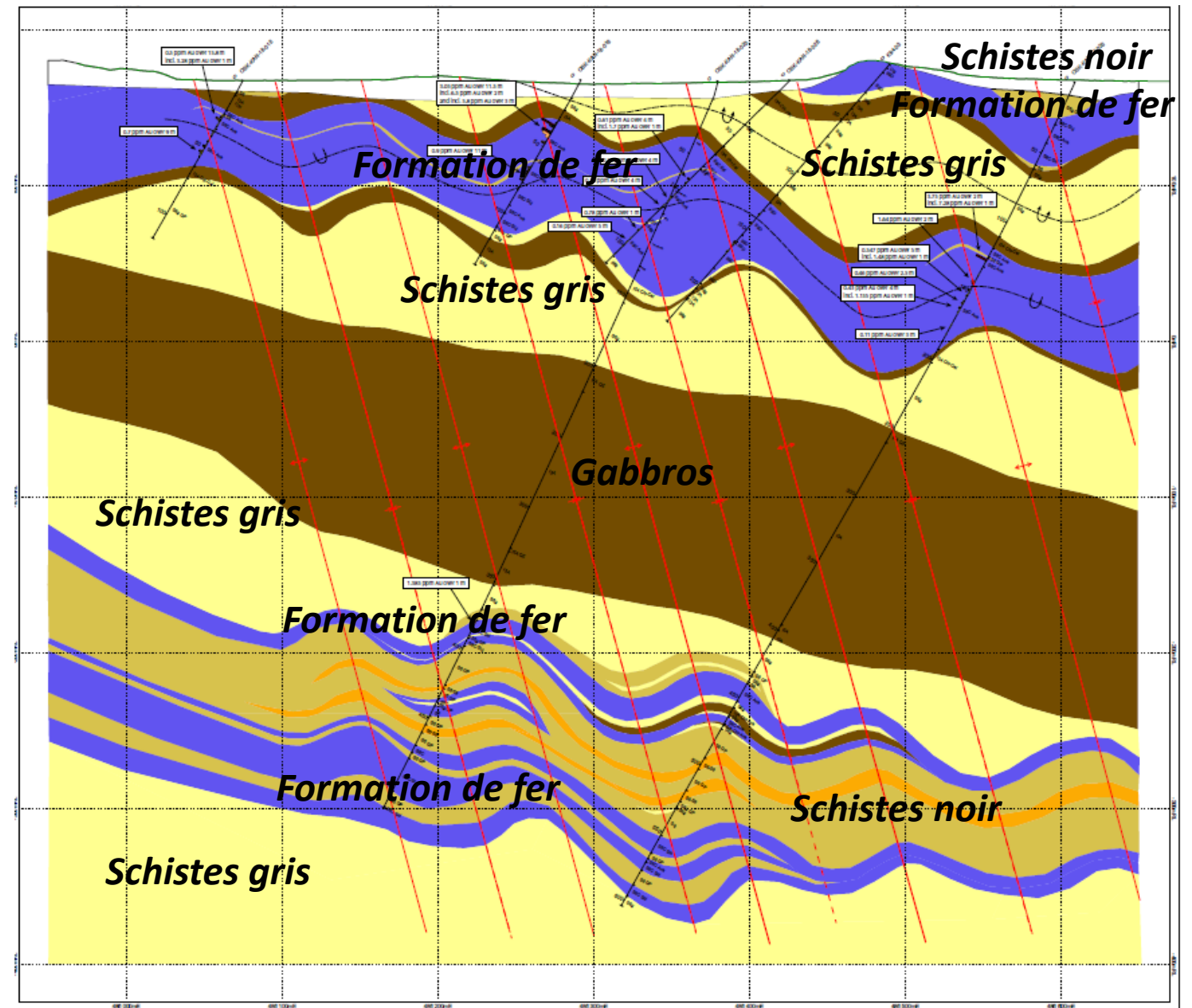
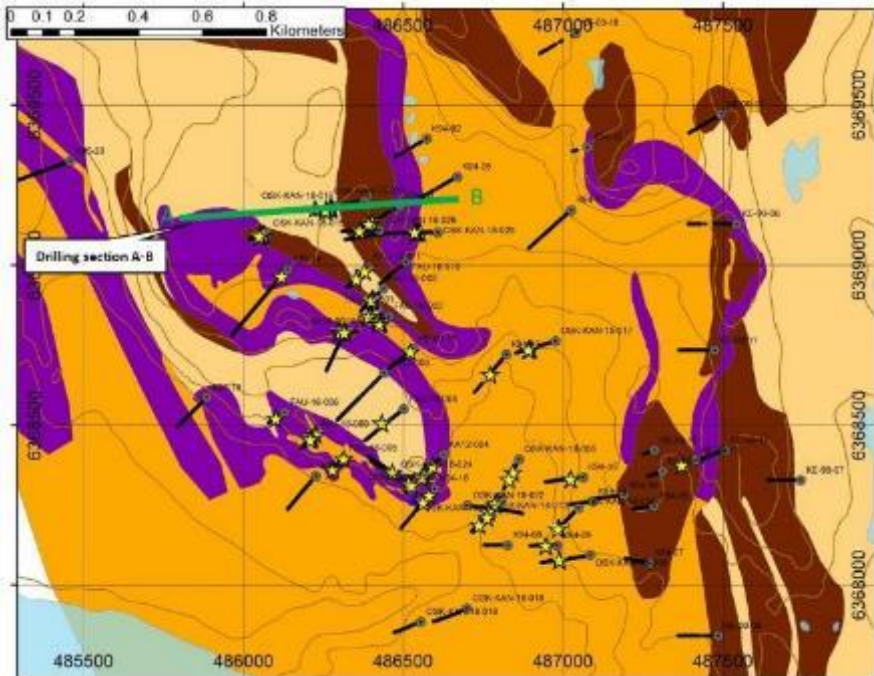
- ★ Gold > 1 g/t Au DDH
- Coordonnées Events
- DDH Samples

Lithology

	Silicate-Carbonate Iron Formation
	Silicate-Oxide Iron Formation
	Undifferentiated Iron Formation
	Black Shale
	Grey Shale
	Gabbro
	Conglomerate
	Sandstone
	Chert

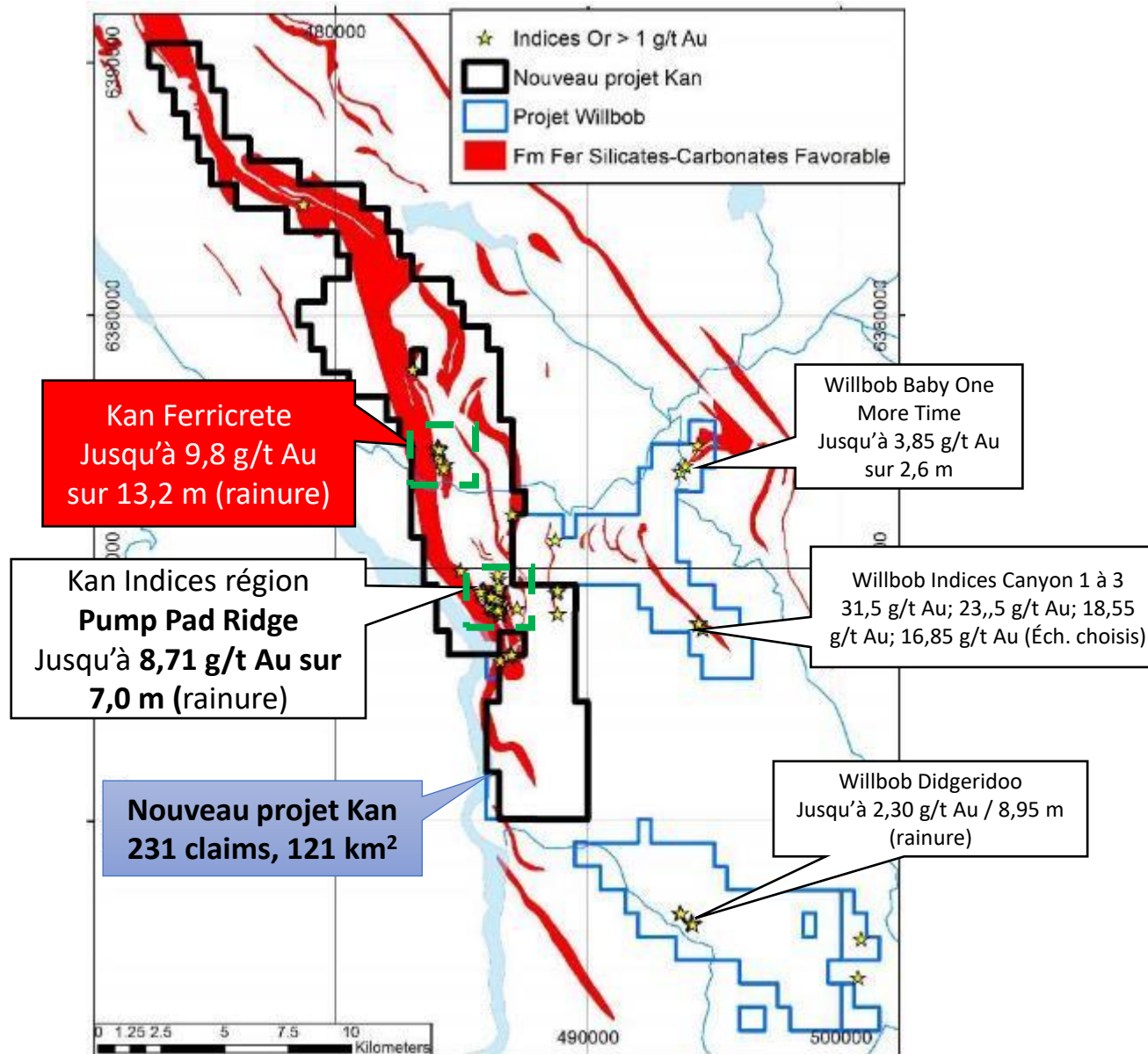
Kan – Forage section A-B

- Remarquez les plis couchés précoces avec la répétition de la formation de fer.
- Remarquez les plis droits tardifs, interprétés comme contrôlant la distribution de l'or.
- En profondeur, l'anticlinal et le synclinal plus au sud sont recoupés, indiquant que ces plis possèdent également des plans axiaux à faible pendage.



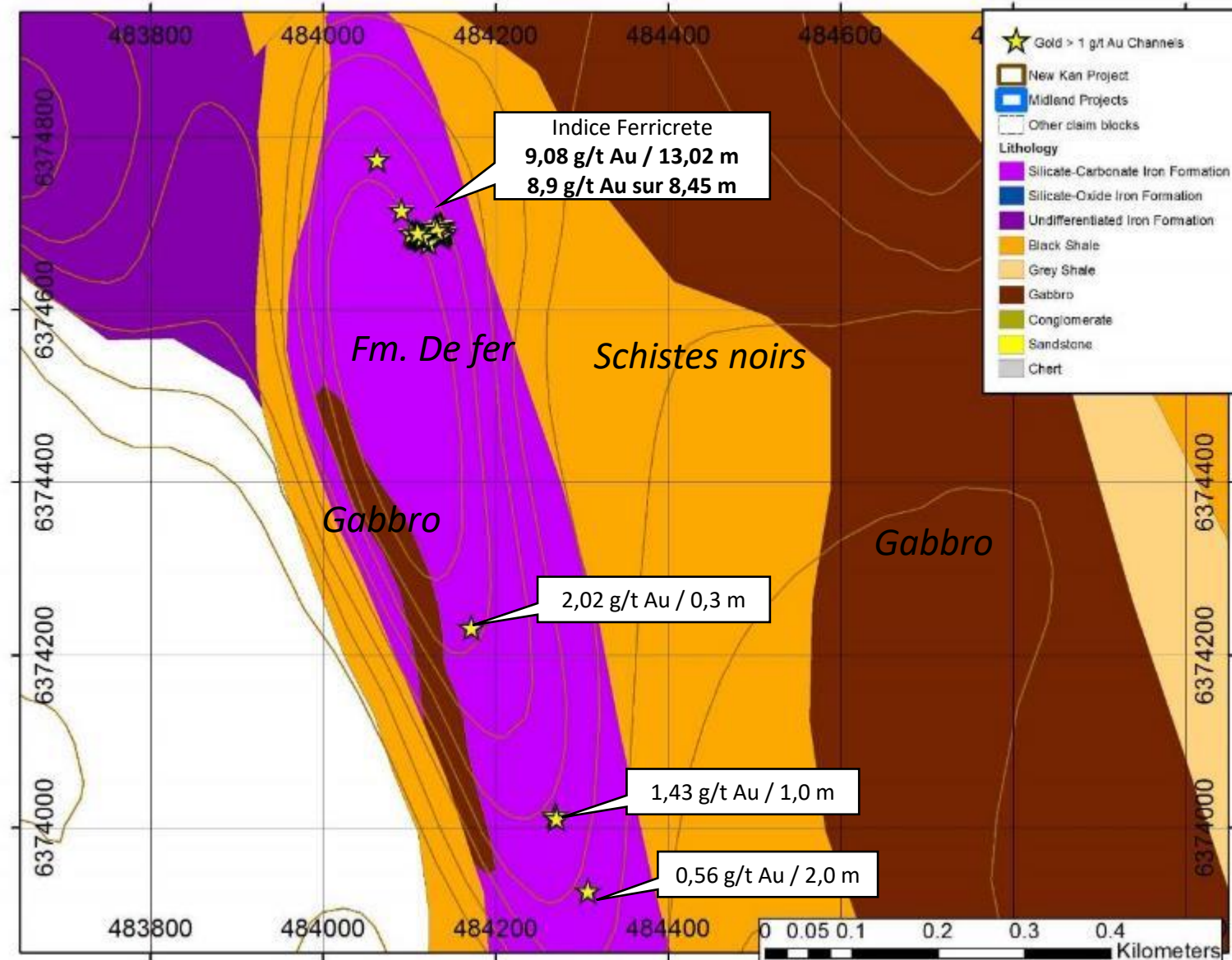
Ferricrete Région des indices Au

À environ 10 km
au nord de Pump
Pad Ridge

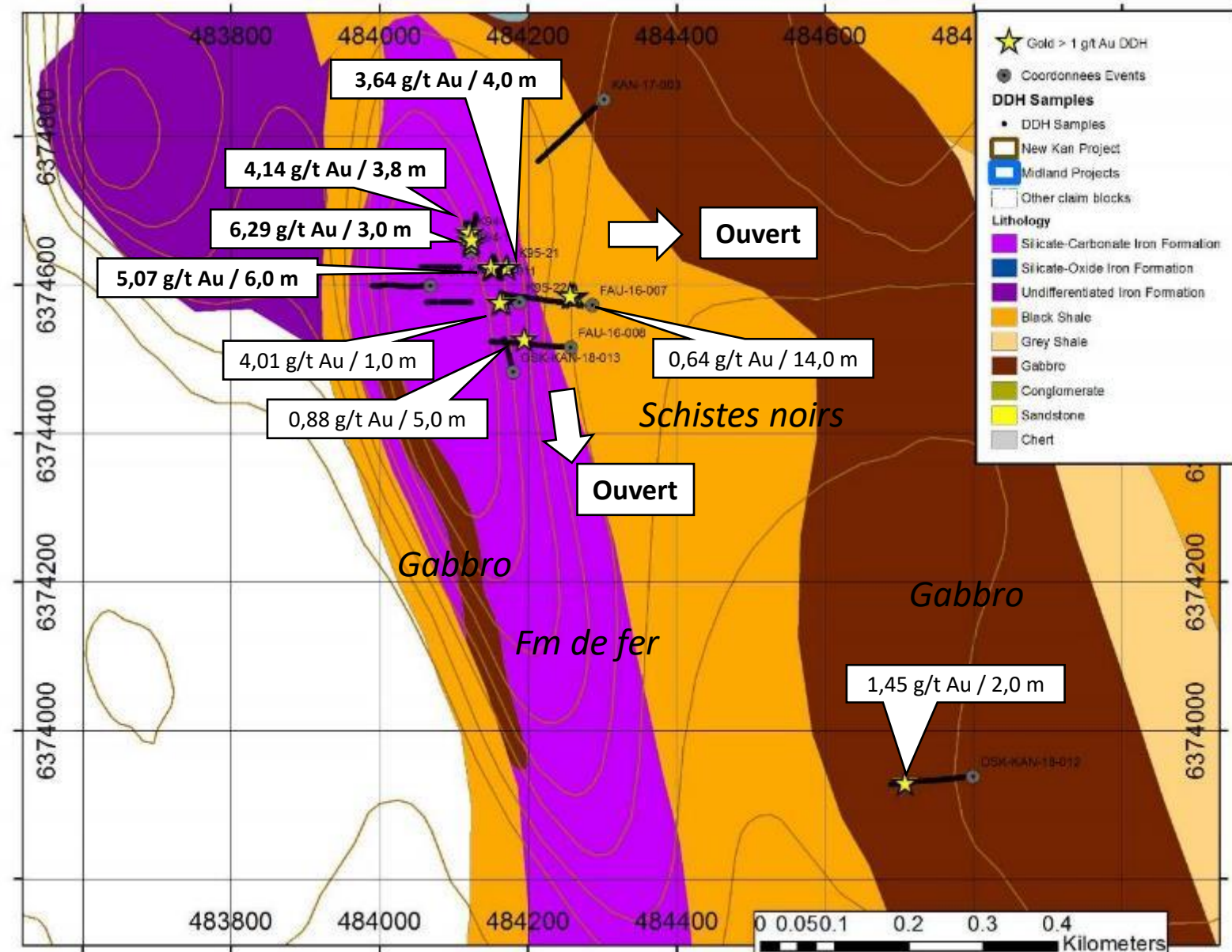


Kan - Ferricrete – Or dans les rainures

- Meilleures valeurs
- Indice Ferricrete
 - 9,8 g/t Au sur 13,2 m;
 - 8,9 g/t Au sur 8,45 m
- Autres valeurs anormales au sud



Kan - Ferricrete – Or dans les forages

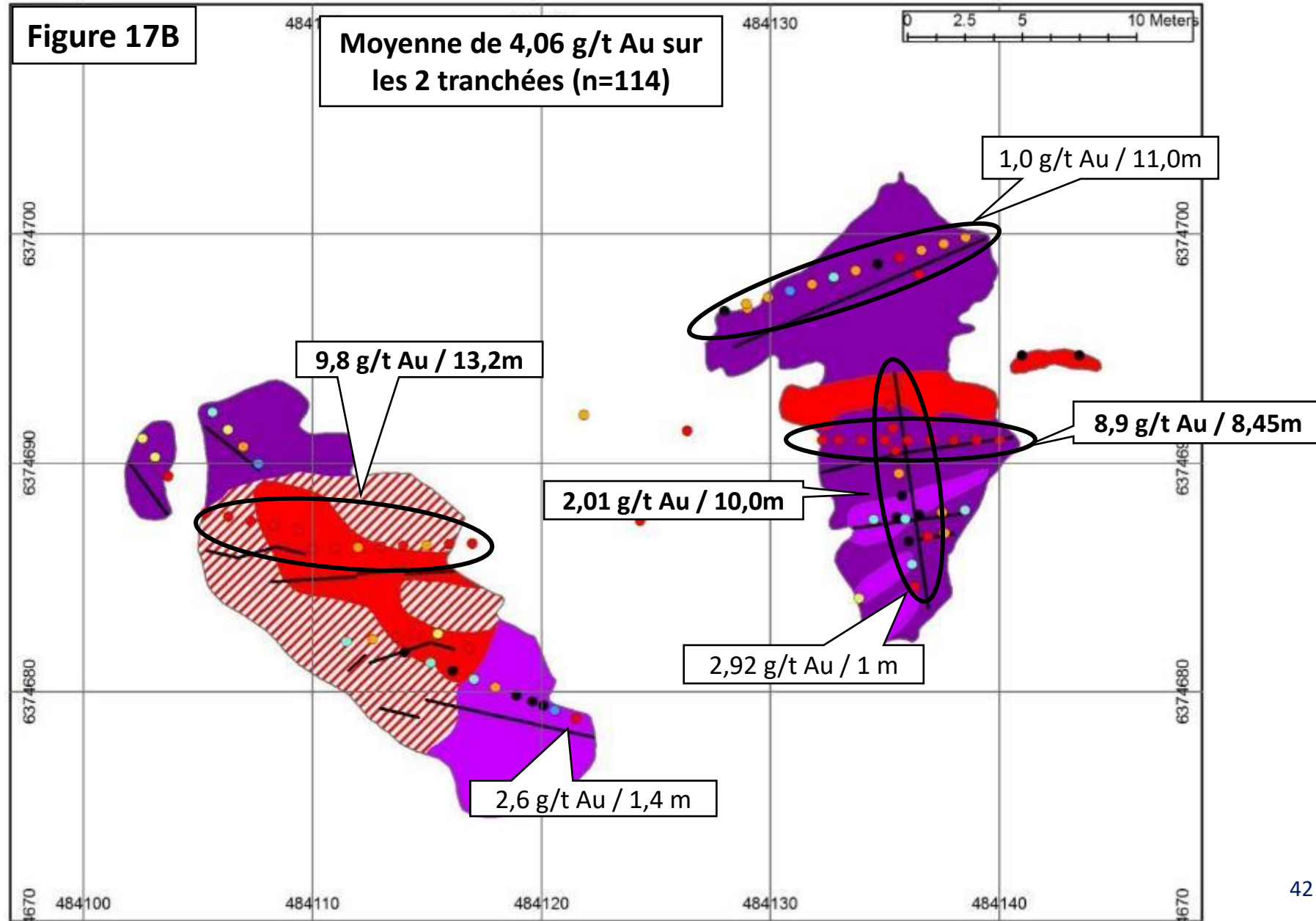


- Meilleurs sondages:
- 5,07 g/t Au sur 6,0 mètres;
- 6,29 g/t Au sur 3,0 mètres;
- 4,14 g/t Au sur 3,8 mètres;
- 3,64 g/t Au sur 4,0 mètres (sondages)

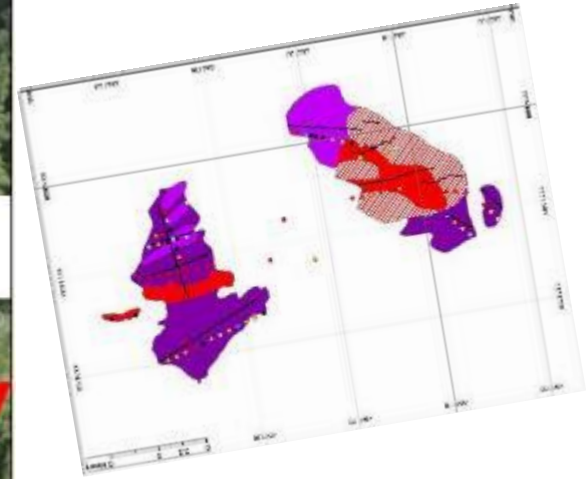
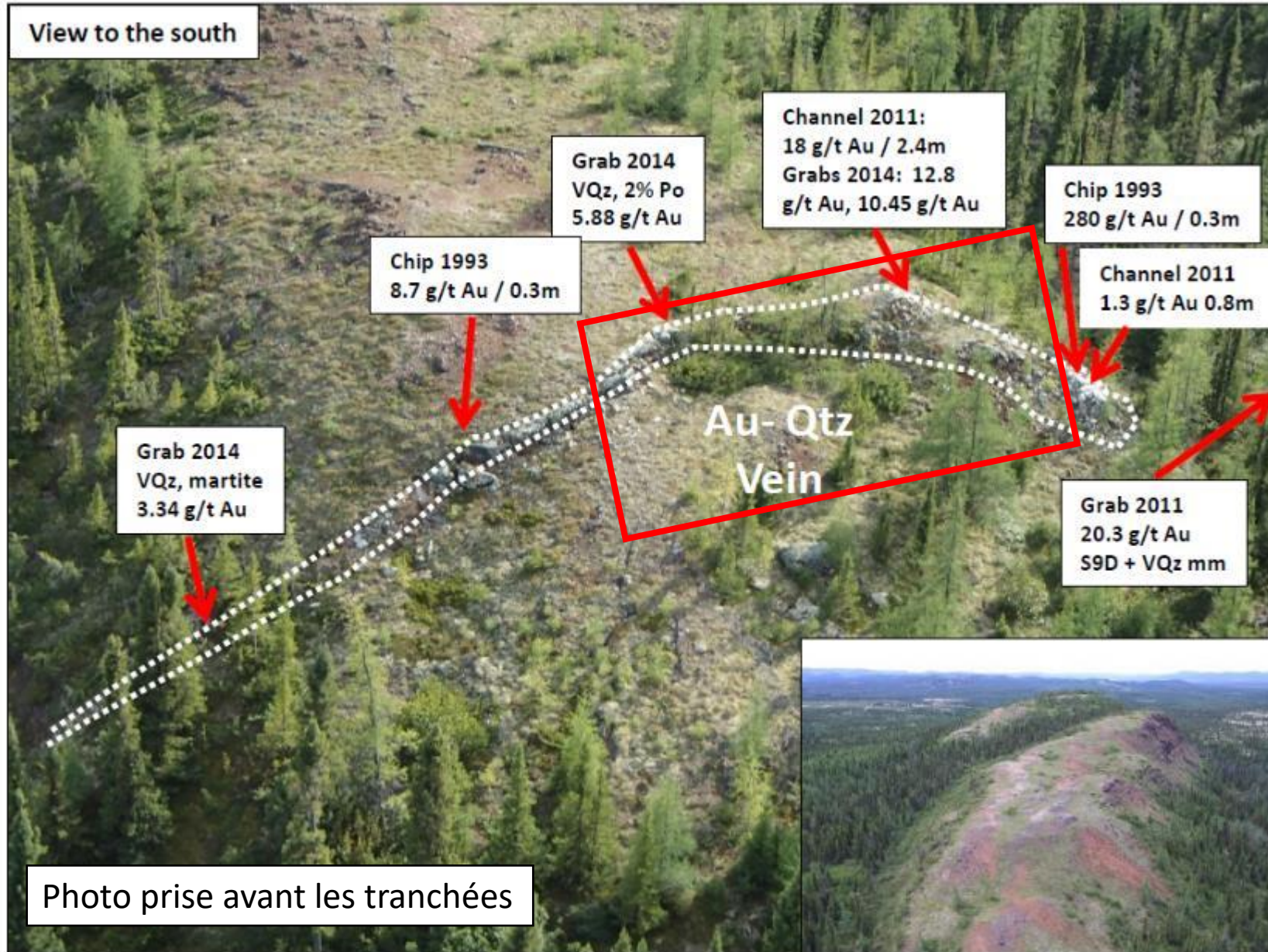
Kan - Ferricrete - Rainures

Modèle : vaste filon récifal en selle, faiblement incliné vers le sud et relié à une zone de faille à l'ouest.

On observe également une série de filons subverticaux aurifères dans la formation de fer.

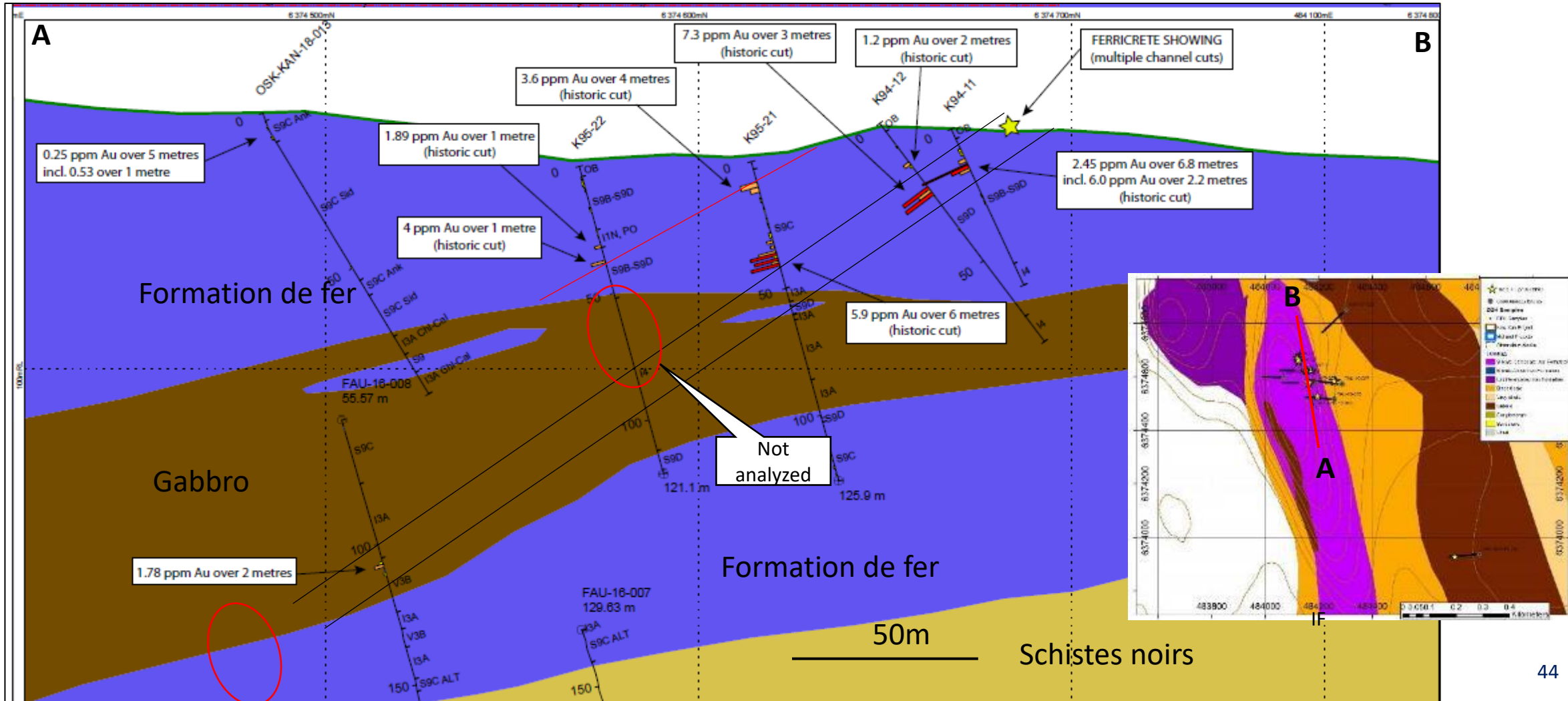


Kan - Ferricrete – Vue vers le sud



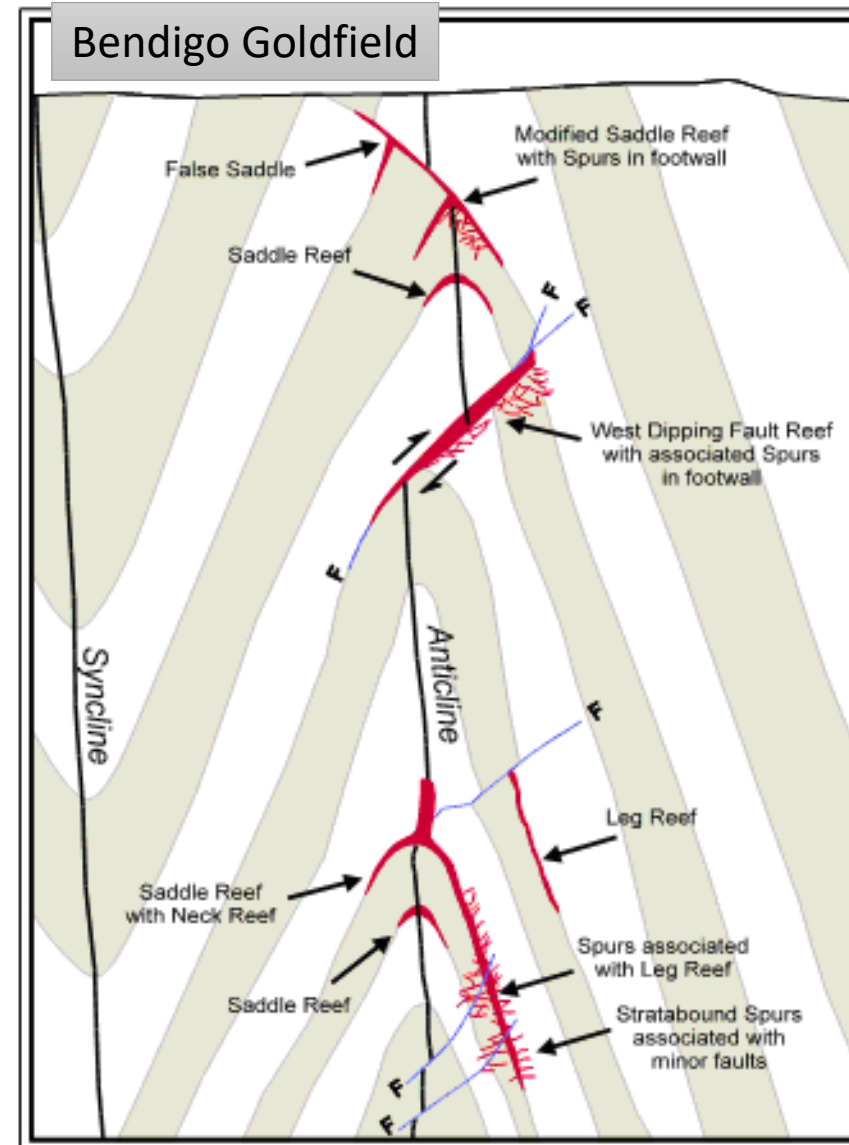
Ferricrete Forage - N-S Section longue

- Deux zones distinctes.
- Zone principale de Ferricrete. Semble se prolonger dans le gabbro ! Serait encore ouverte au sud. La majeure partie du gabbro dans les forages historiques n'a pas été analysée ni décrite. La zone devrait réintersecter au fond.
- La seconde zone n'a pas été identifiée sur l'affleurement



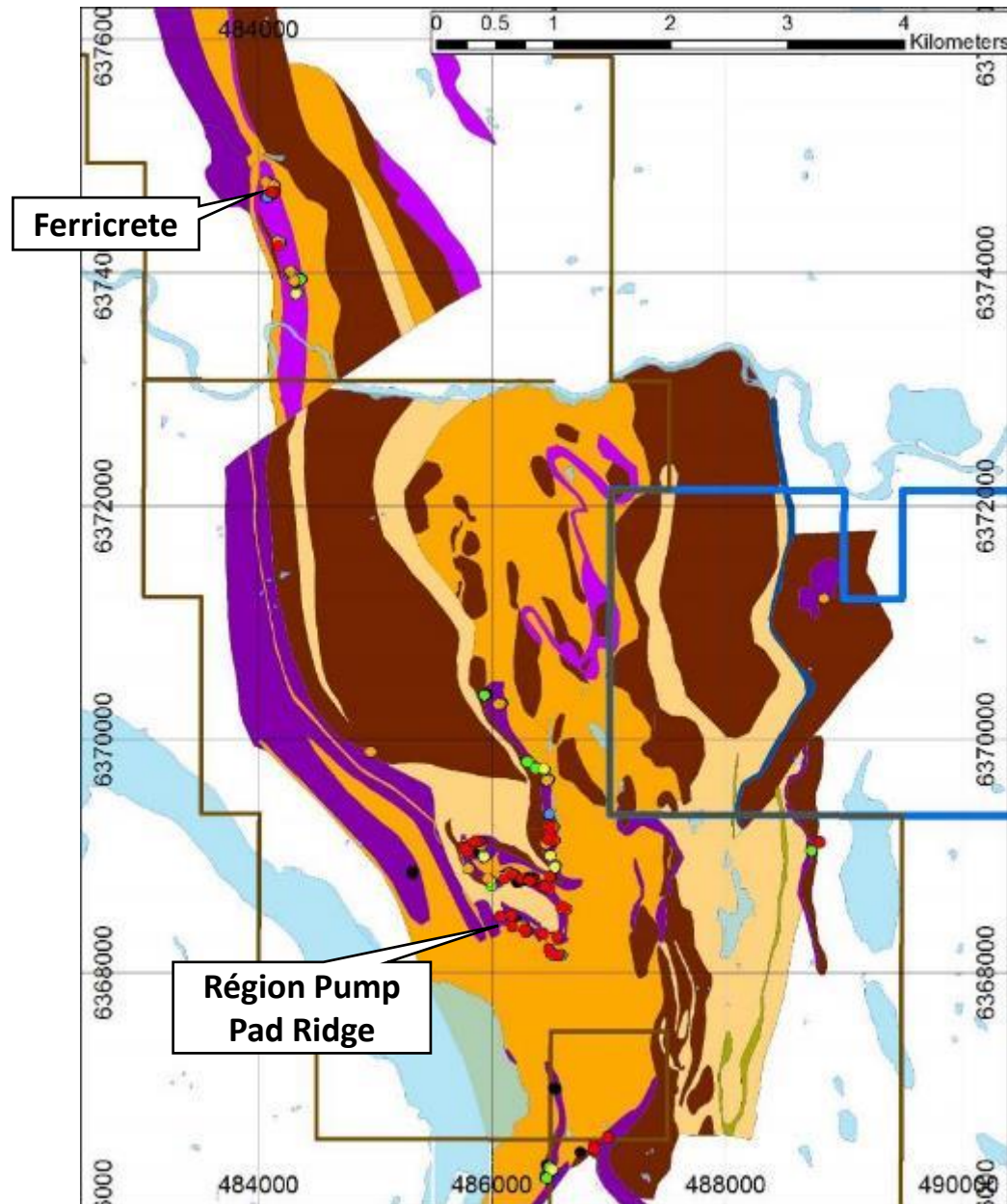
Kan - Indice Ferricrete – Modèle

- Le grand filon de quartz de Ferricrete pourrait correspondre à un récif-selle dans un antiforme de type F2.
- Le réseau de veines à fort pendage NNO environnant pourrait représenter des éperons formés en périphérie du récif-selle.
- Ces éperons se situent à la fois dans le compartiment inférieur et le compartiment supérieur.
- Cependant, la minéralisation reste globalement stratiforme.
- Le récif-selle et les éperons pourraient être alimentés par une faille sur le flanc ouest.



Kan - Valeurs globales de l'or dans les rainures

- 2 601 échantillons choisis total historique
 - 290 intervalles > 1 g/t Au
 - 440 intervalles > 0,5 g/t Au
 - 814 intervalles > 0,1 g/t Au
- Forte empreinte Au



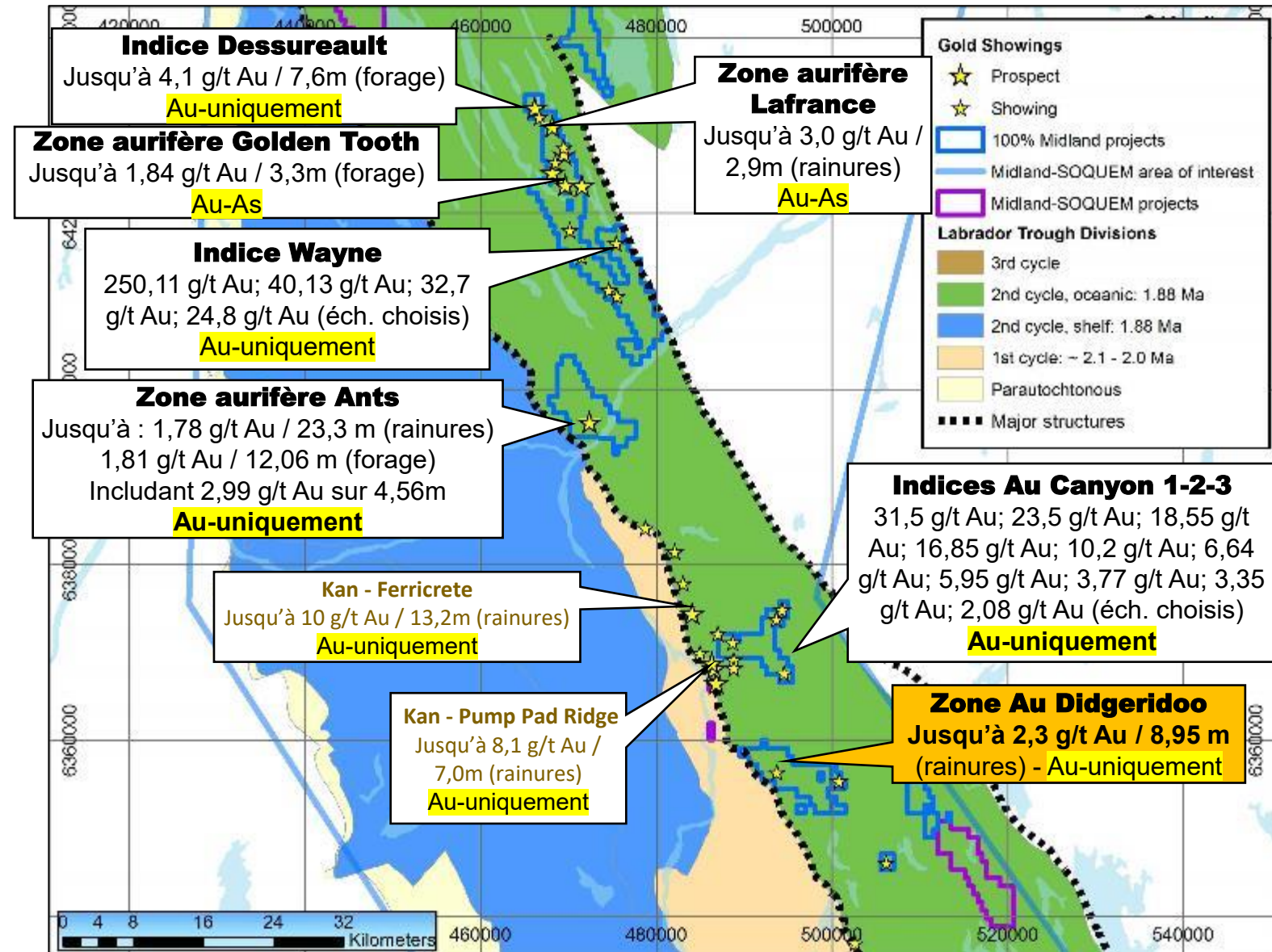
Indice aurifères région Willbob



- Au moins 4 styles différents de minéralisation aurifère contrôlée par la structure ont été observés.
 - **Au-As** dans les zones de cisaillement ductiles-fragiles et/ou les veines de tension horizontales, partie nord du projet (ex : Golden Tooth, Lafrance As-Au, Polar Bear) ; **événement compressif tardif D3'**
 - Veines de tension plates, **contenant uniquement de l'or**, dans la partie nord du projet (Dessureaut, Lafrance Au Tonalite). **Événement compressif tardif D3'**
 - **Au±Cu±Zn±Pb** dans des veines de tension à pendage modéré à fort tardif / zones de failles cassantes, sur l'ensemble du projet (ex : SP, Alias, Kavi, veines de Cu dans les gabbros) – **Événement extensif ultérieur (post-orogénique ?)**
 - Cisaillements/failles/brèches/remplacements **uniquement en Au**, sur l'ensemble du projet (Didgeridoo, Ants, Wayne)
- **La superposition de plusieurs événements de minéralisation est probable → typique des grands districts aurifères.**

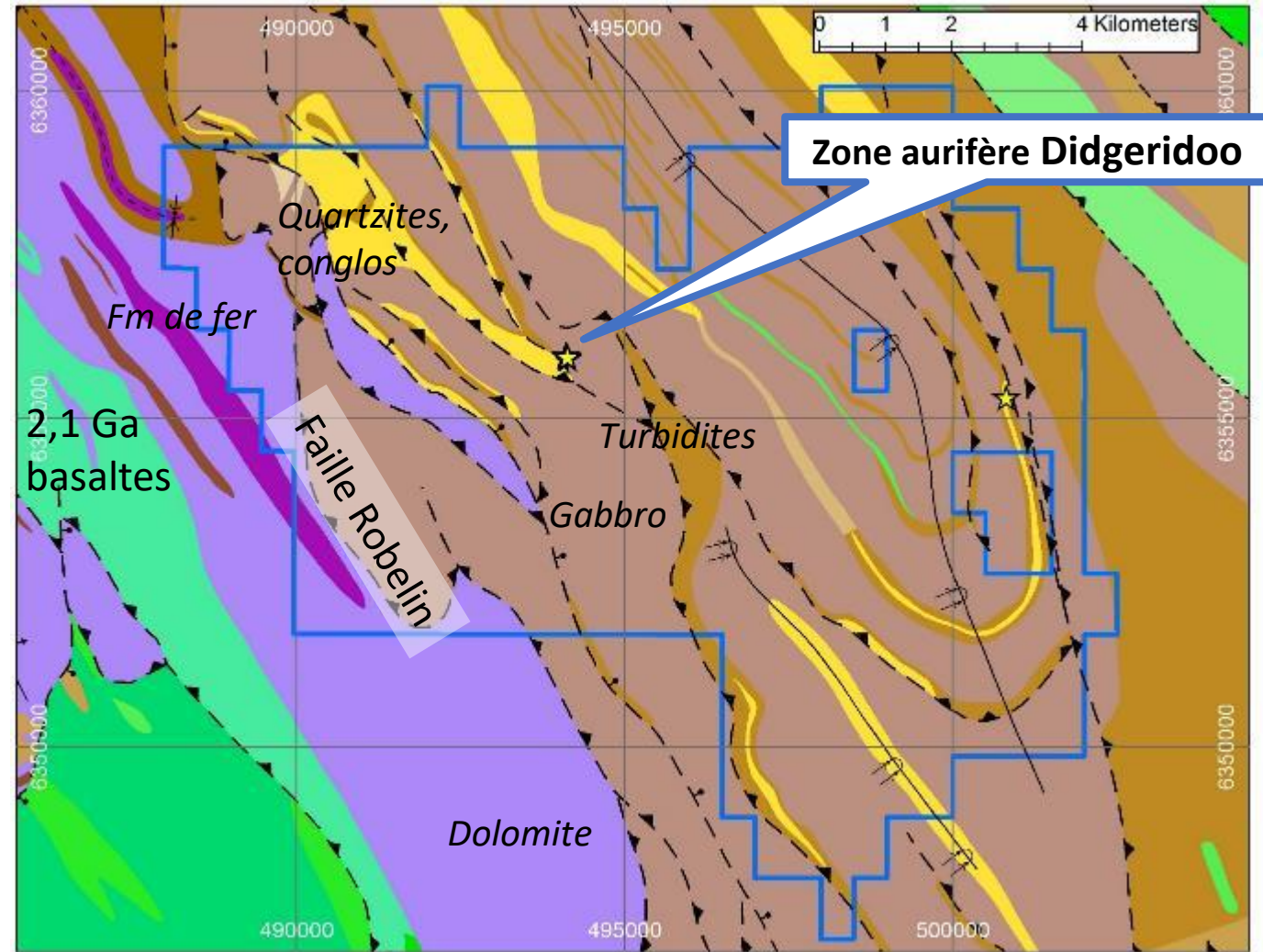
Région projet Willbob – Meilleurs indices Au

- Entre 2015 et 2019, Midland a découvert plus de 40 indices et de prospect d'or, répartis sur plus de 95 kilomètres dans les roches de deuxième cycle de la Fosse du Labrador
- Présence d'indices dans les parties dioritiques (supérieures) des filons-couches de gabbro différenciés.
- Présence d'**Au-As** limitée à la zone nord.
- Présence d'**Au seul** dans toutes les zones, avec les meilleurs indices dans la moitié sud.
- Quelques indices contiennent également Au-Cu et Au-Pb-Zn, généralement en plus faible quantité (veines d'extension isolées).
- Les meilleurs indices sont ceux d'Au seul.



Zone aurifère de Didgeridoo, bloc centre-sud

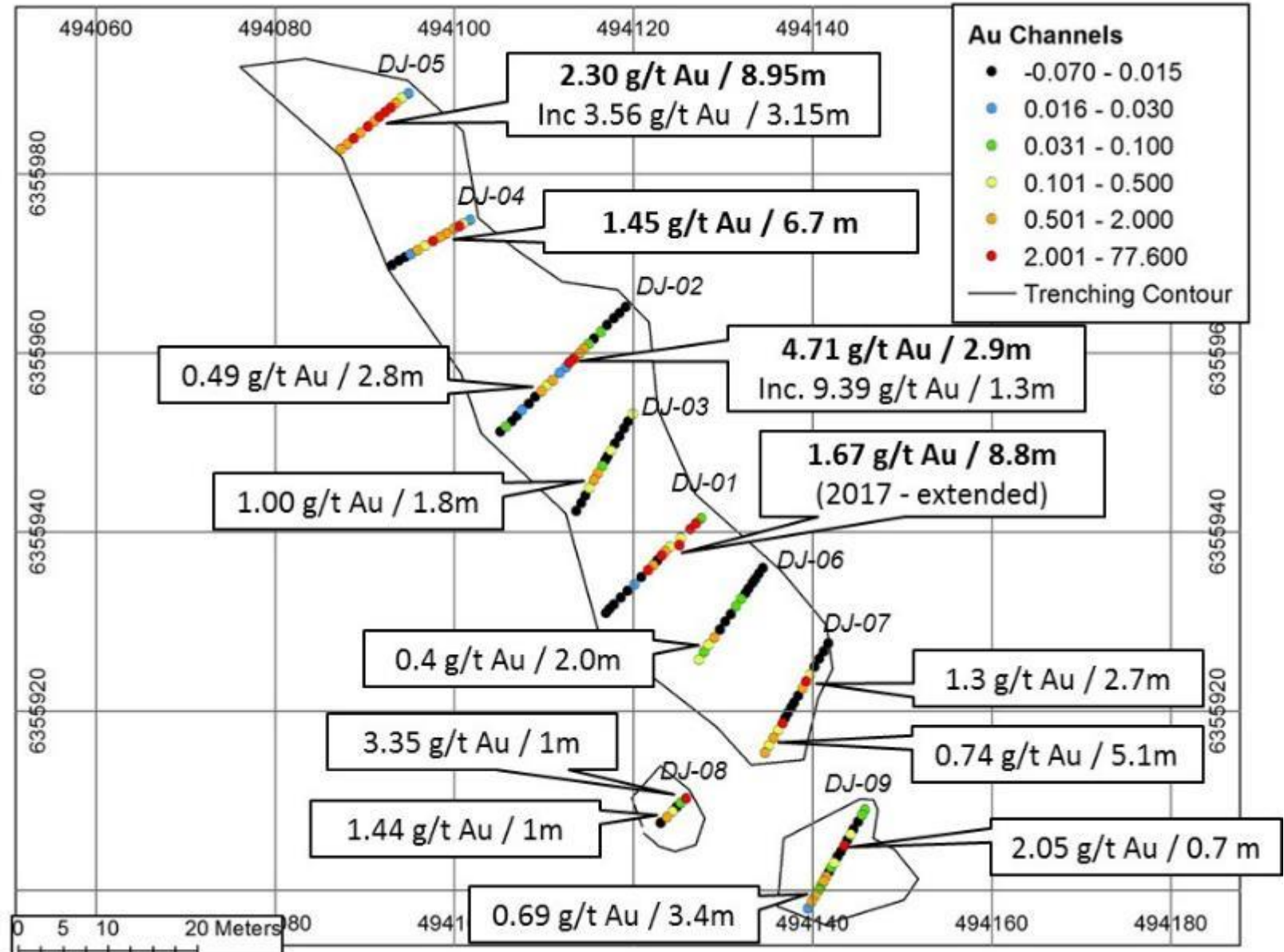
- Beaucoup de plis, avec des défauts ultérieurs qui coupent les plis tardifs de D3' - Identique au défaut brillant
- **Faïlle de Robelin** – *faïlle* séparant les sédiments de plate-forme (ouest) du bassin d'eau profonde (schistes, turbidites, gabbros) et des basaltes du 1er cycle (2,1 Ga) – Faïlle majeure probable contrôlant la minéralisation aurifère à Kan



Zone aurifère Didgeridoo – Rainures 2018

Zone de cisaillement avec veines de quartz-calcite remplissant une faille dans un gabbro chloritisé, avec pyrrhotite (faibles quantités de minéralisation en Po (< 2,5 % Po) dans les veines et le gabbro). Au moins 100 m de long, 5 à 10 m de large ; ouverte au sud.

- **Or visible**
- **Ouvert au nord et au sud, en profondeur**
- **Aucun forage n'a été fait dans cette zone**

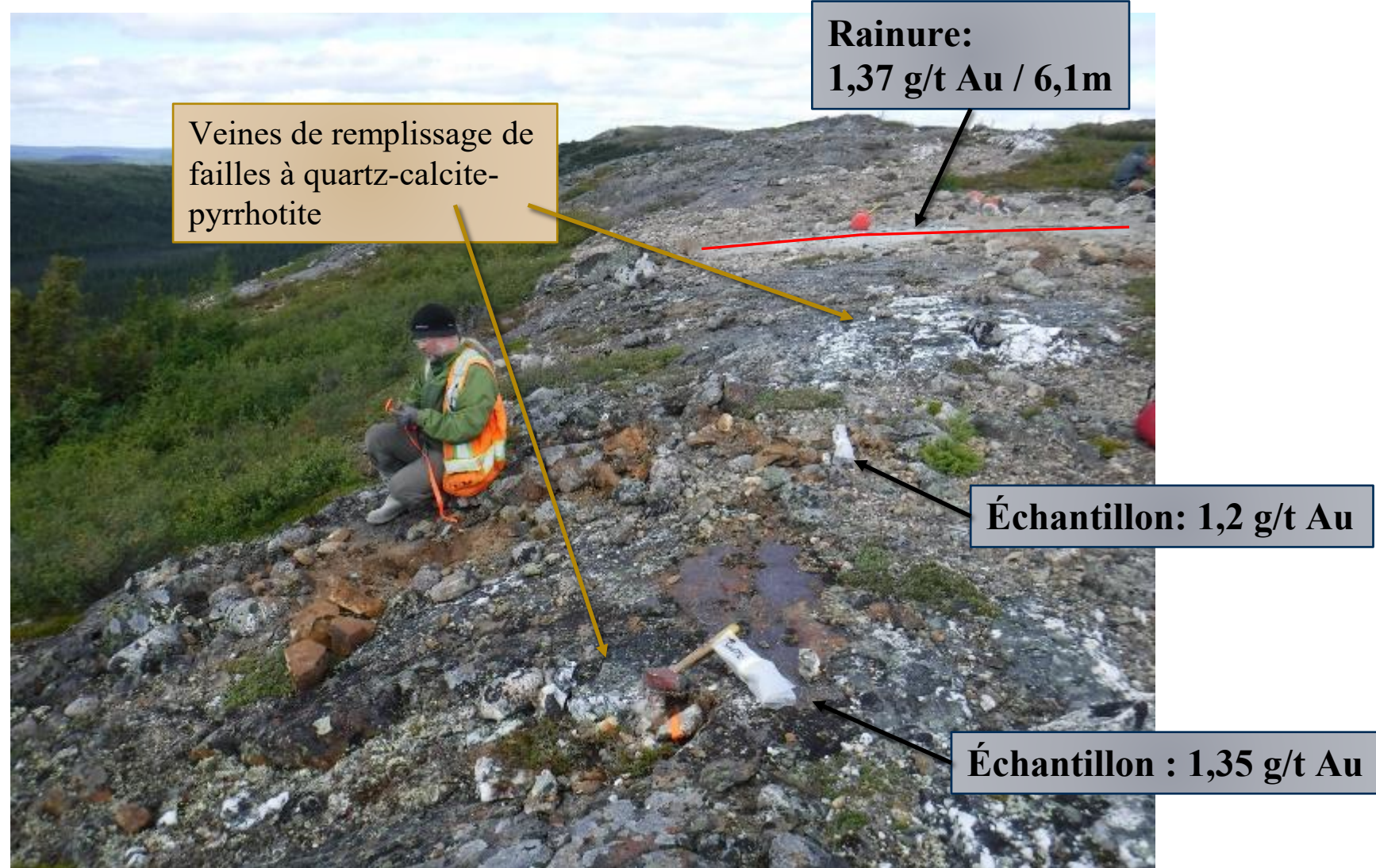


Zone aurifère Didgeridoo

Zone de cisaillement avec veines de quartz-carbonate remplissant une faille – Située au sommet d'une colline ! Découverte en 2017 en marchant dessus.



Zone aurifère Didgeridoo : Vue vers le nord



Zone aurifère Didgeridoo : Échantillons



Figure 12 : Exemple de la zone minéralisée de Didgeridoo, fortement altérée en chlorite, avec de petites veines de quartz rouillées et des plages de pyrrhotite contenant des traces de chalcoppyrite. DJ-18-04 de 1,6 à 2,1 m, X858088 : 2,62 g/t Au.

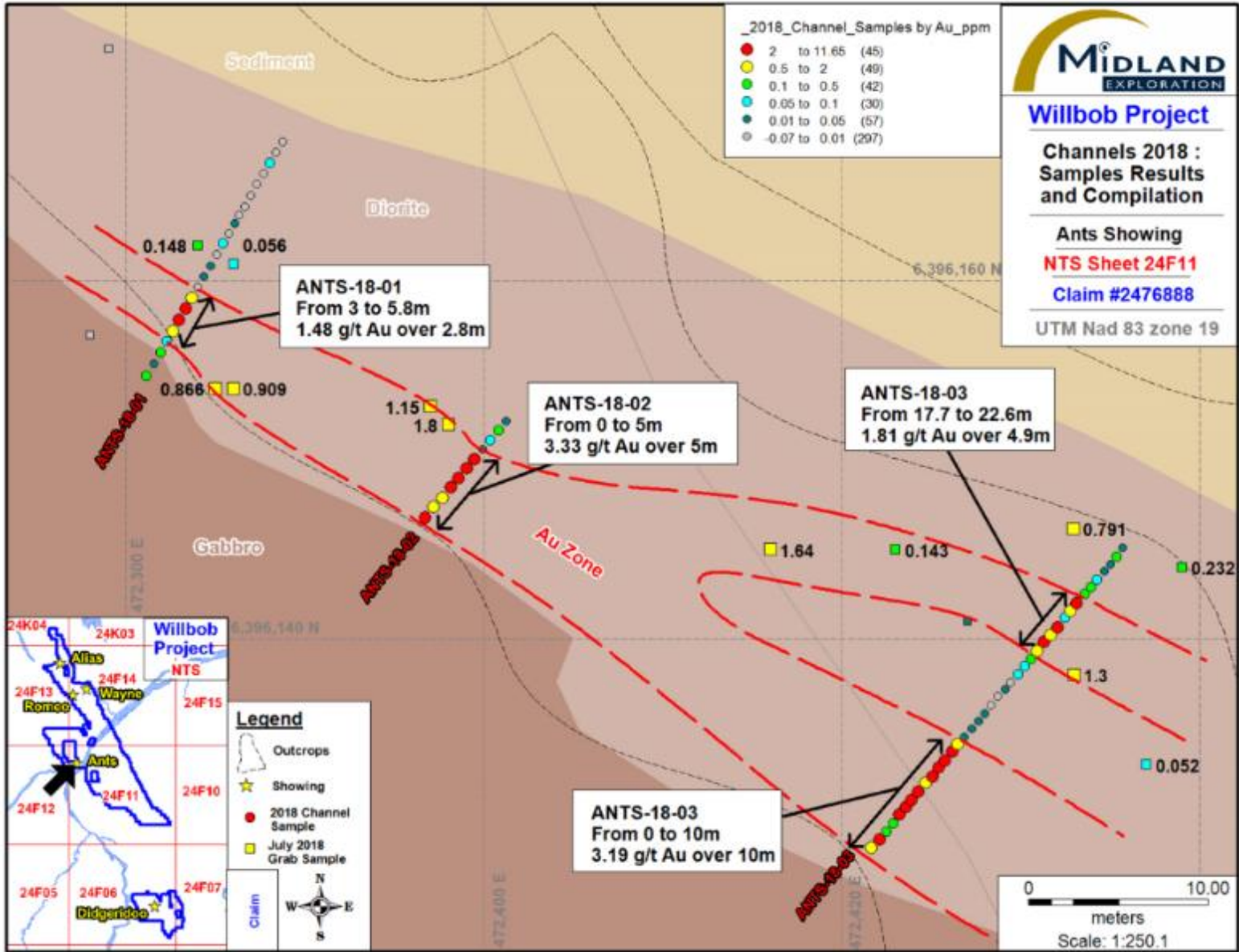
Zone aurifère Didgeridoo – Or visible



Zone aurifère Ants: Rainures



- Ants : minéralisation de type remplacement (Po) au sommet d'un filon-couche de gabbro différencié, dans une diorite quartzique fortement altérée, près du contact avec des roches sédimentaires

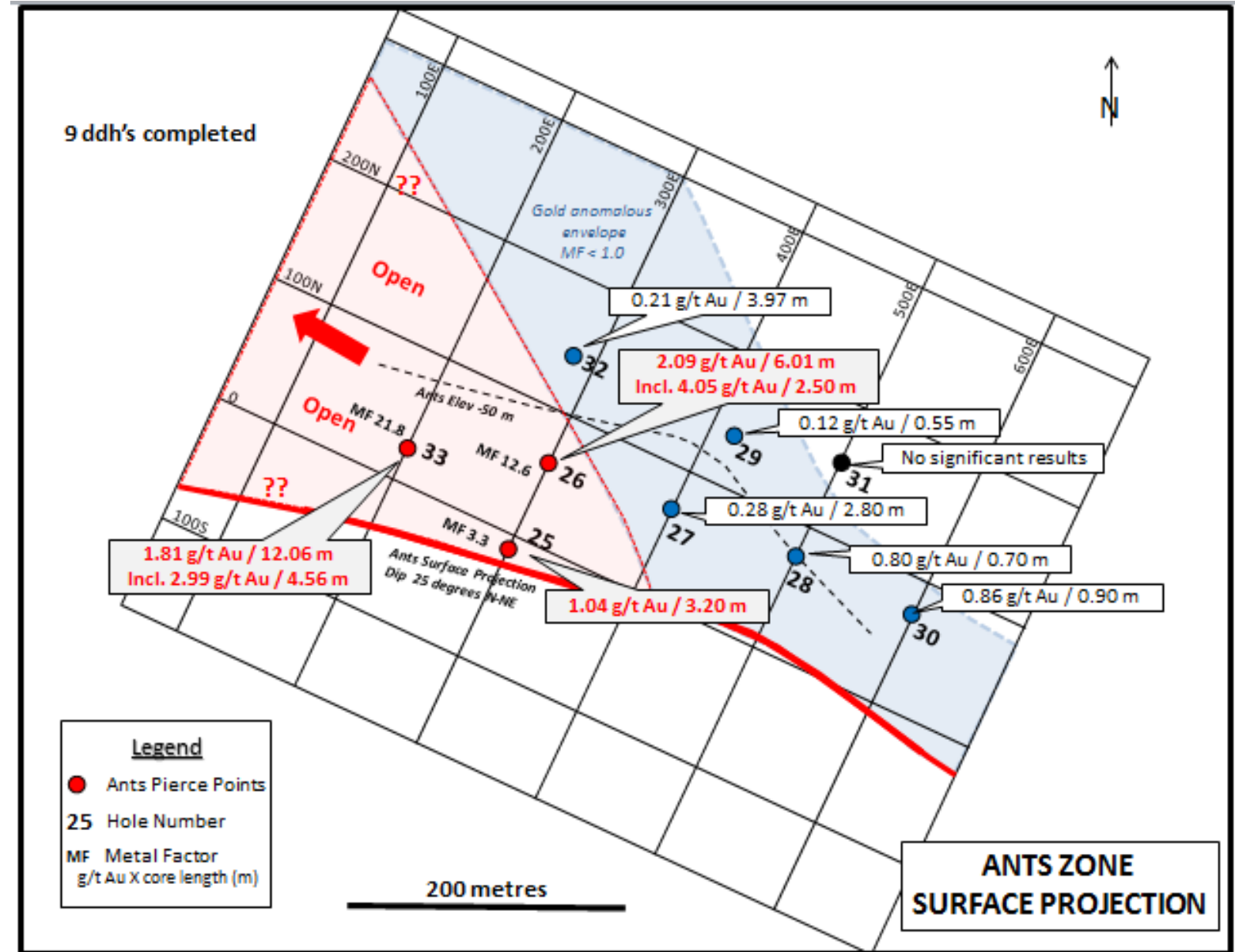


Zone aurifère Ants: Rainures



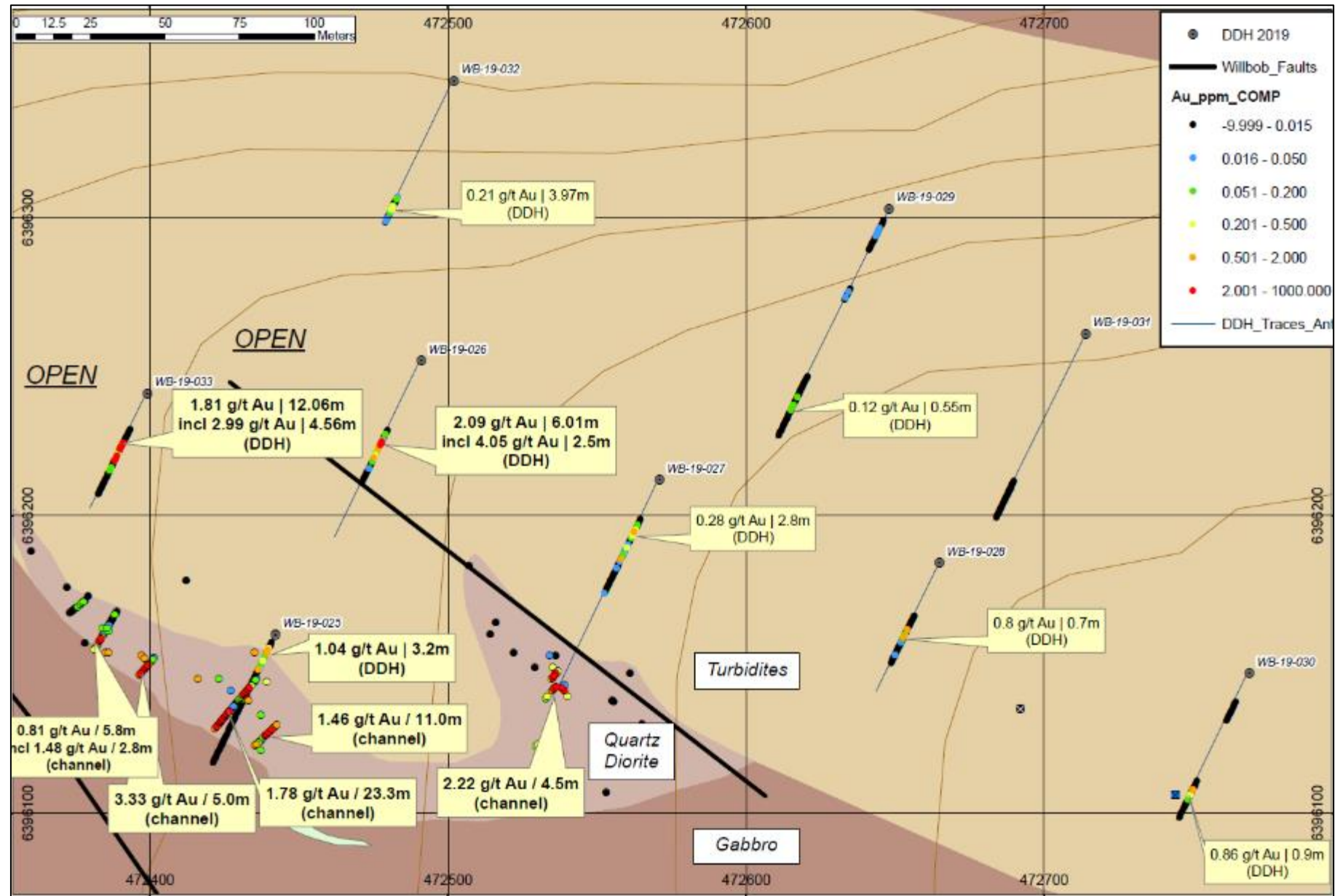
Zone aurifère Ants: Projection de surface forage

- Progression très progressive et nette vers l'ouest.
- Les meilleurs sondages minéralisés est le dernier vers l'ouest
- Minéralisation encore ouverte.



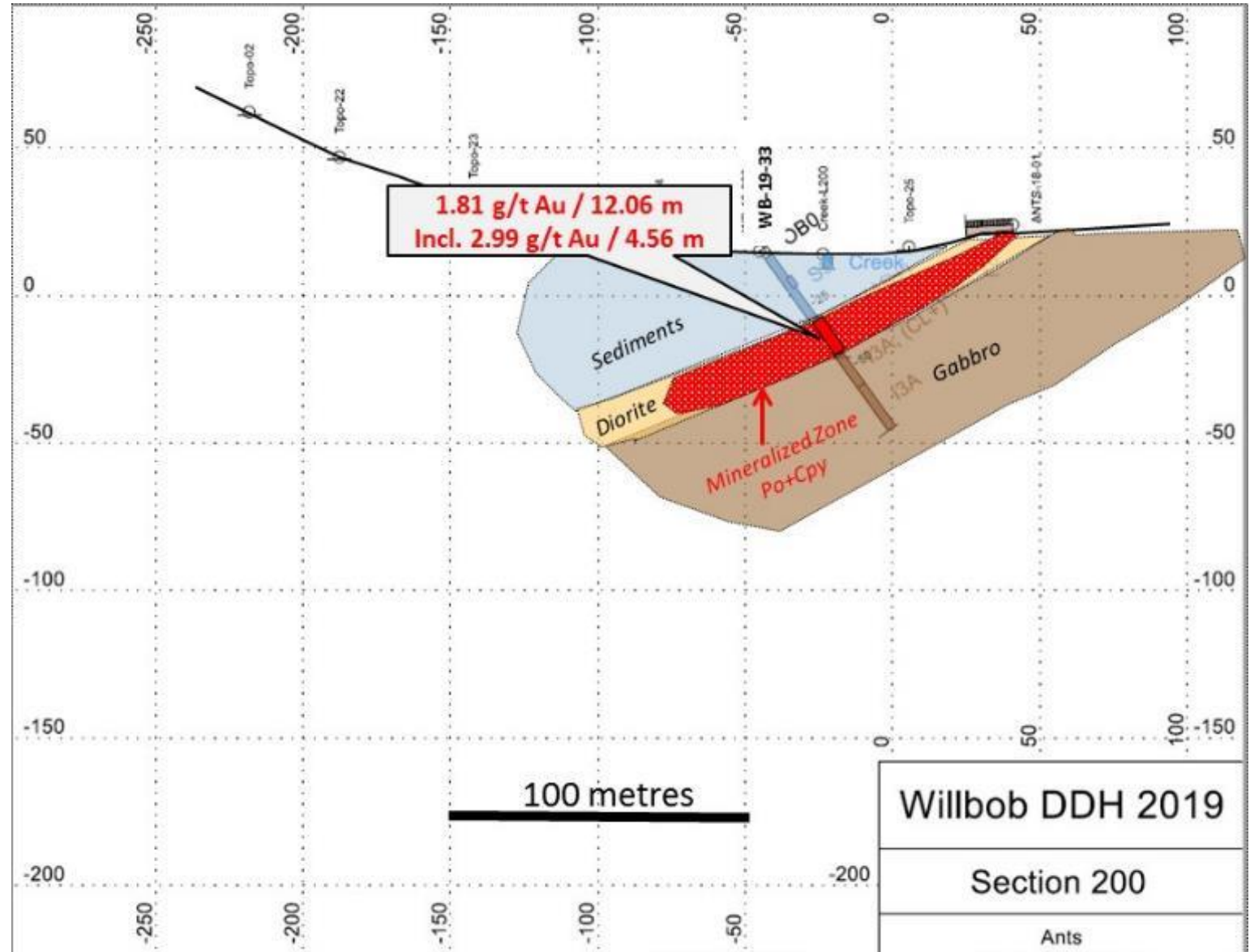
Ants - Surface + Échantillons

- Progression très progressive et nette vers l'ouest.
- Les meilleurs sondages minéralisés est le dernier vers l'ouest
- Minéralisation encore ouverte.



Zone Ants Section 200E

- Le pendage du contact sill-sédiment s'aplatit vers le NO, où l'or est plus présent → possiblement contrôlé par une structure anticlinale ouverte ?



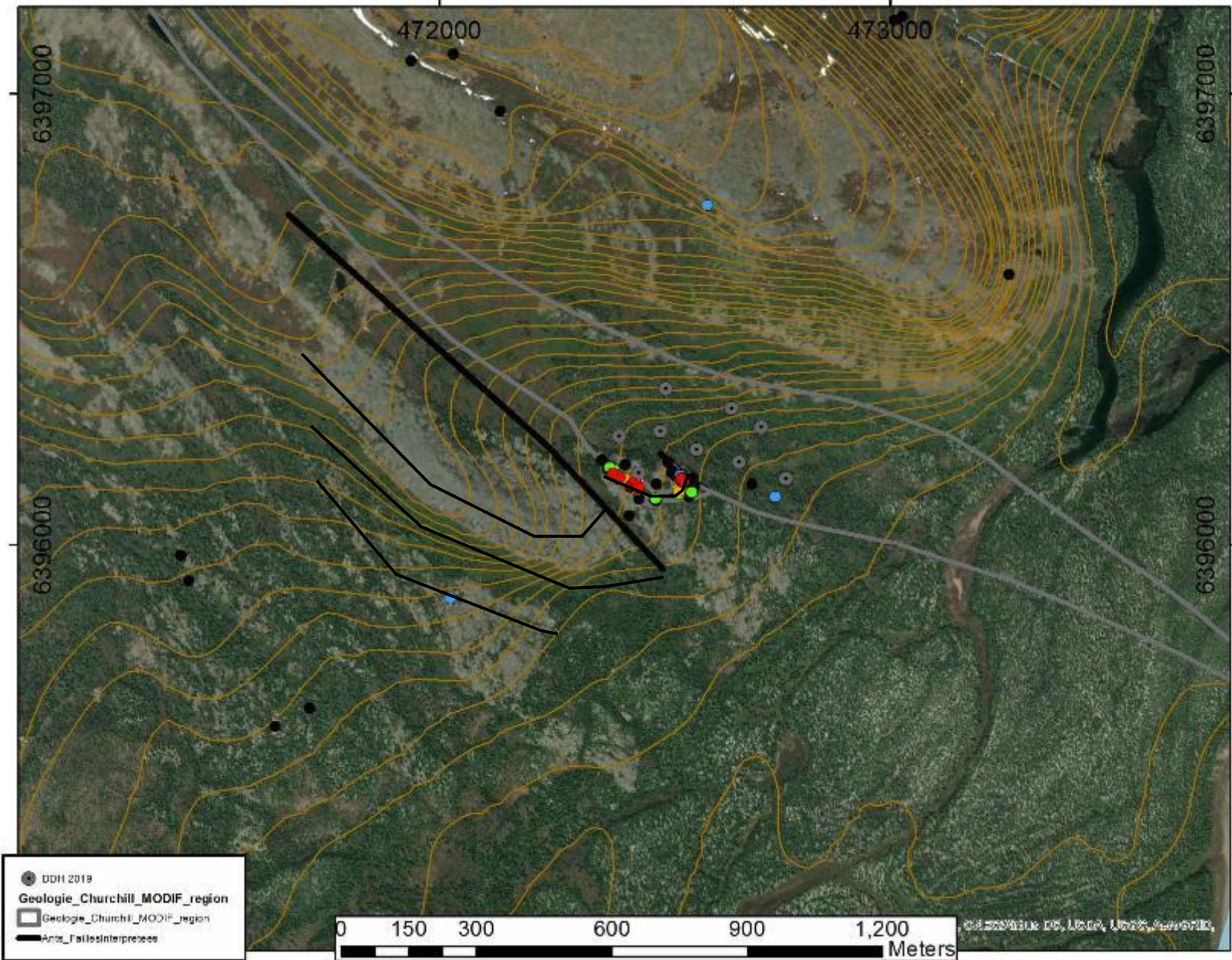
Zone Ants WB-19-026

2,09 g/t Au / 6,01 m
incl, 4,05 g/t Au / 2,5 m
Zone minéralisée dans la diorite quartzique



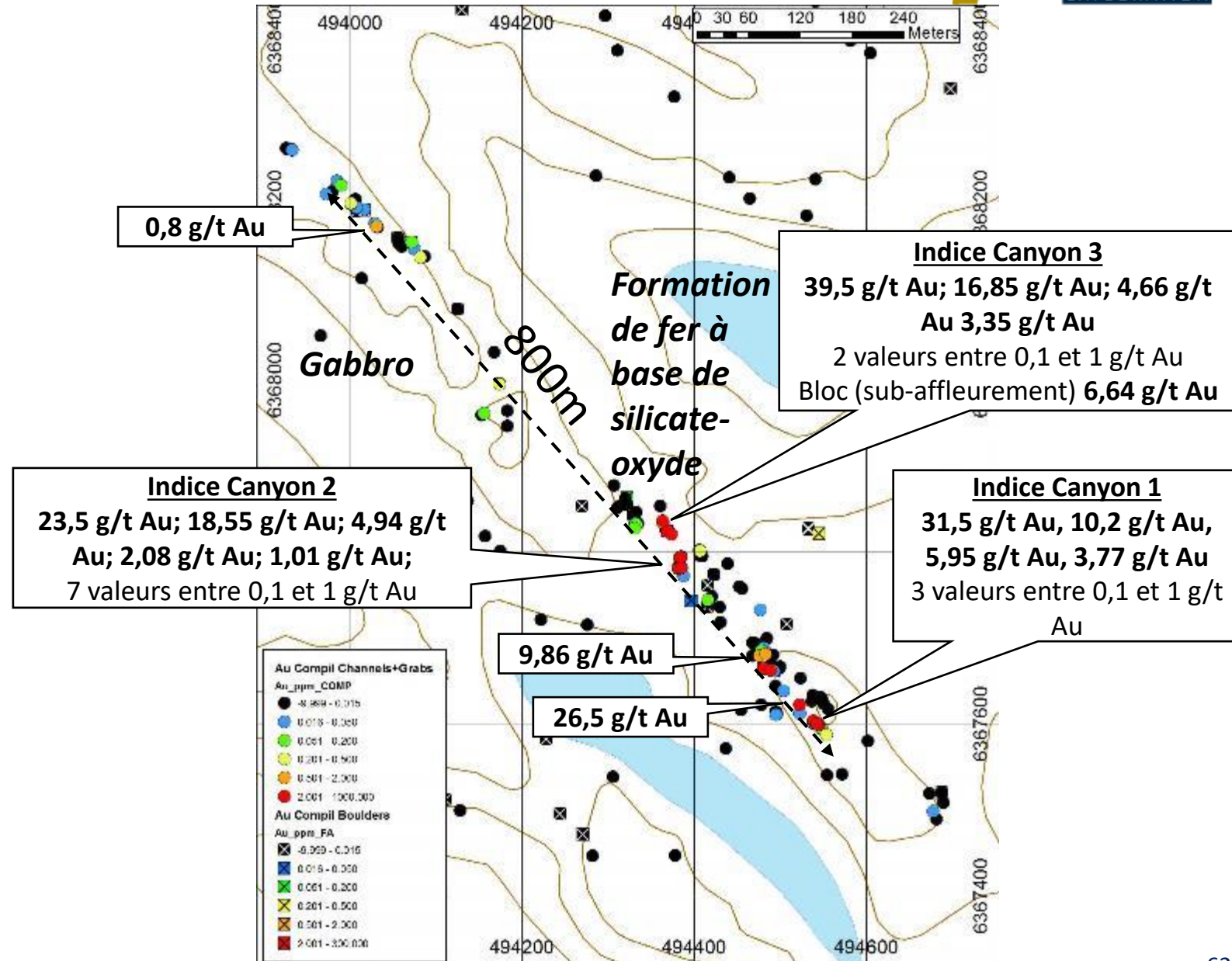
Ants Dézoom

Faille à mouvement senestre dans le plan, clairement visible sur la géologie et la topographie.



Projet Willbob-Indices aurifères Canyon

- **Indices Canyon** : veines de quartz aurifères dans une formation de fer au contact d'un filon-couche de gabbro
- **Sur plus de 800 m de long**
- **La minéralisation reste ouverte au nord-ouest et au sud-est**
- **Aucun forage ni tranchée mécanique n'a été réalisé**



Indice aurifère Canyon 1



Nouvel indice aurifère Canyon 3

39,5 g/t Au

Secteur Canyon-3

**Veine de quartz-ankérite-
chlorite**



4,66 g/t Au

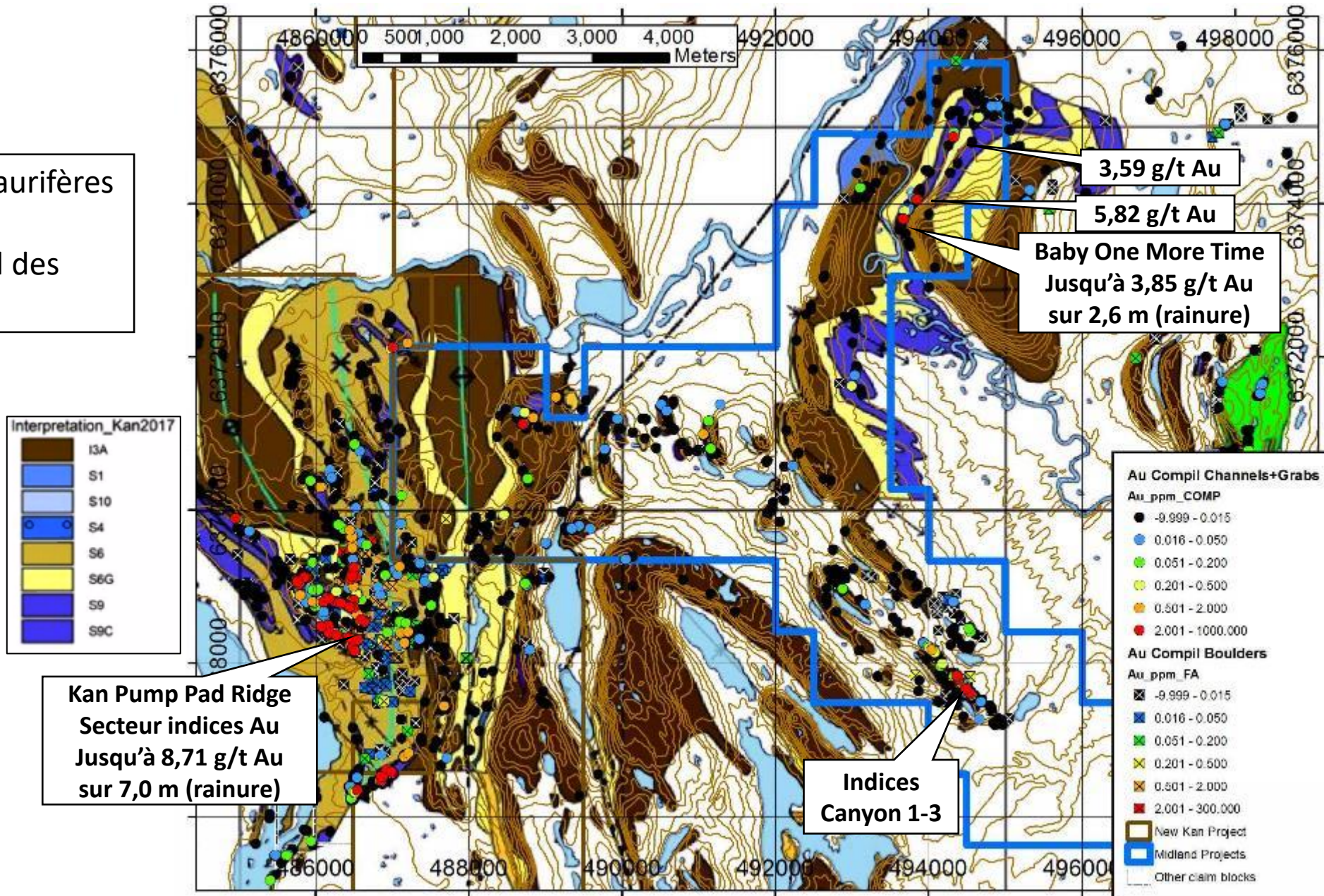
Secteur Canyon-3

**Formation de fer silicatée de
stilpnomélane, avec veinules de
pyrrhotite et de quartz**



Secteur Canyon

Plusieurs autres indices aurifères ont été observés dans la formation de fer au nord des indices du canyon.



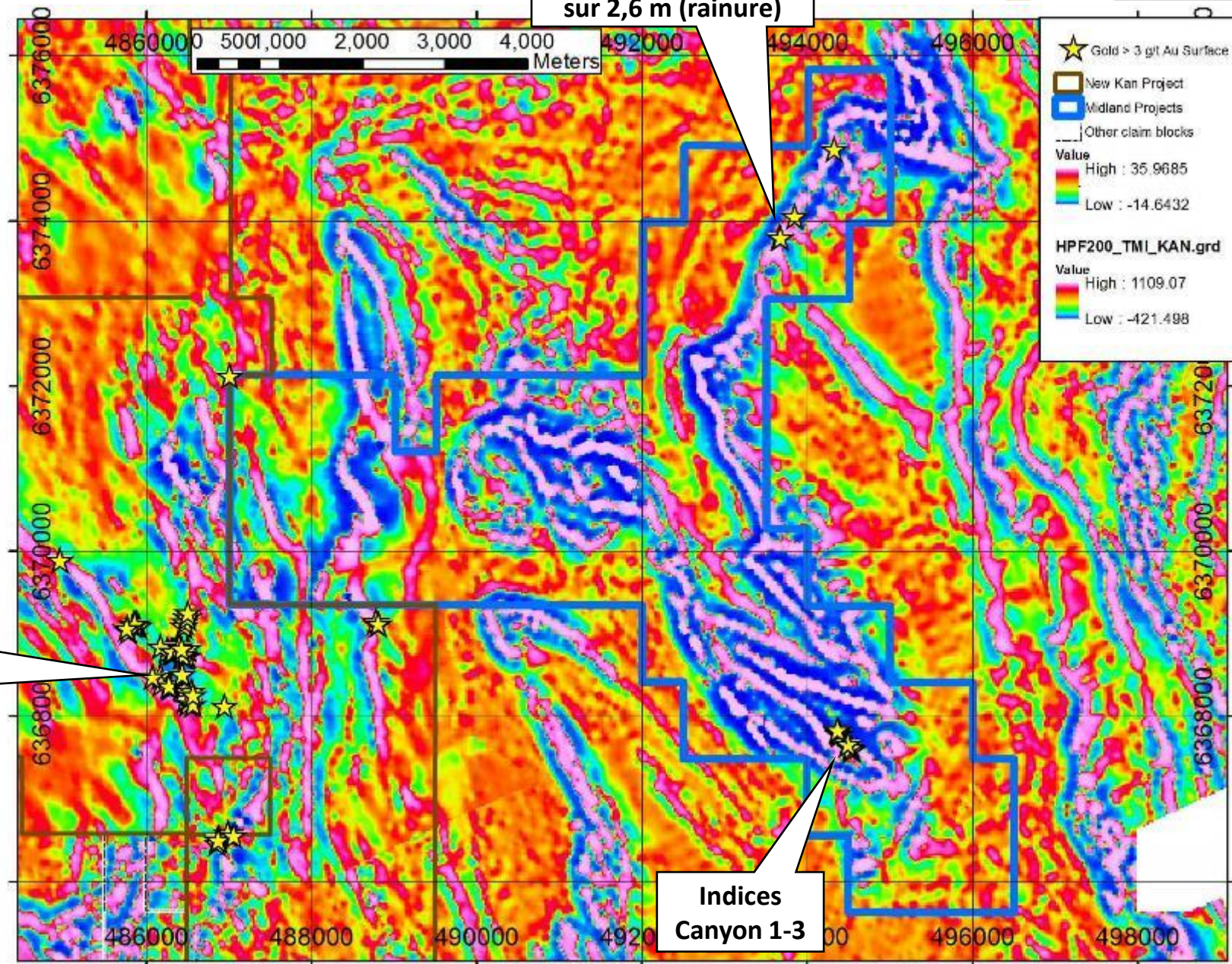
Secteur Canyon

Secteur Canyon est une zone structurale complexe caractérisée par des plis, des failles, etc.

Contexte structural favorable à l'or orogénique

Kan Pump Pad Ridge
Secteur indices Au
Jusqu'à 8,71 g/t Au
sur 7,0 m (rainure)

Baby One More Time
Jusqu'à 3,85 g/t Au
sur 2,6 m (rainure)



Projet Willbob-Kan

- Localisation, accès, claims
- Géologie Fosse du Labrador
- Histoire du projet
- Les schistes noirs comme source et puits d'or
 - Grand modèle 2012
 - Schistes noirs de la formation Baby
- Modèle structurel régional
- Indices aurifères de Willbob-Kan
- **Géochimie des sols de Kan**



Or à partir du sol sur
l'indice de Winchester



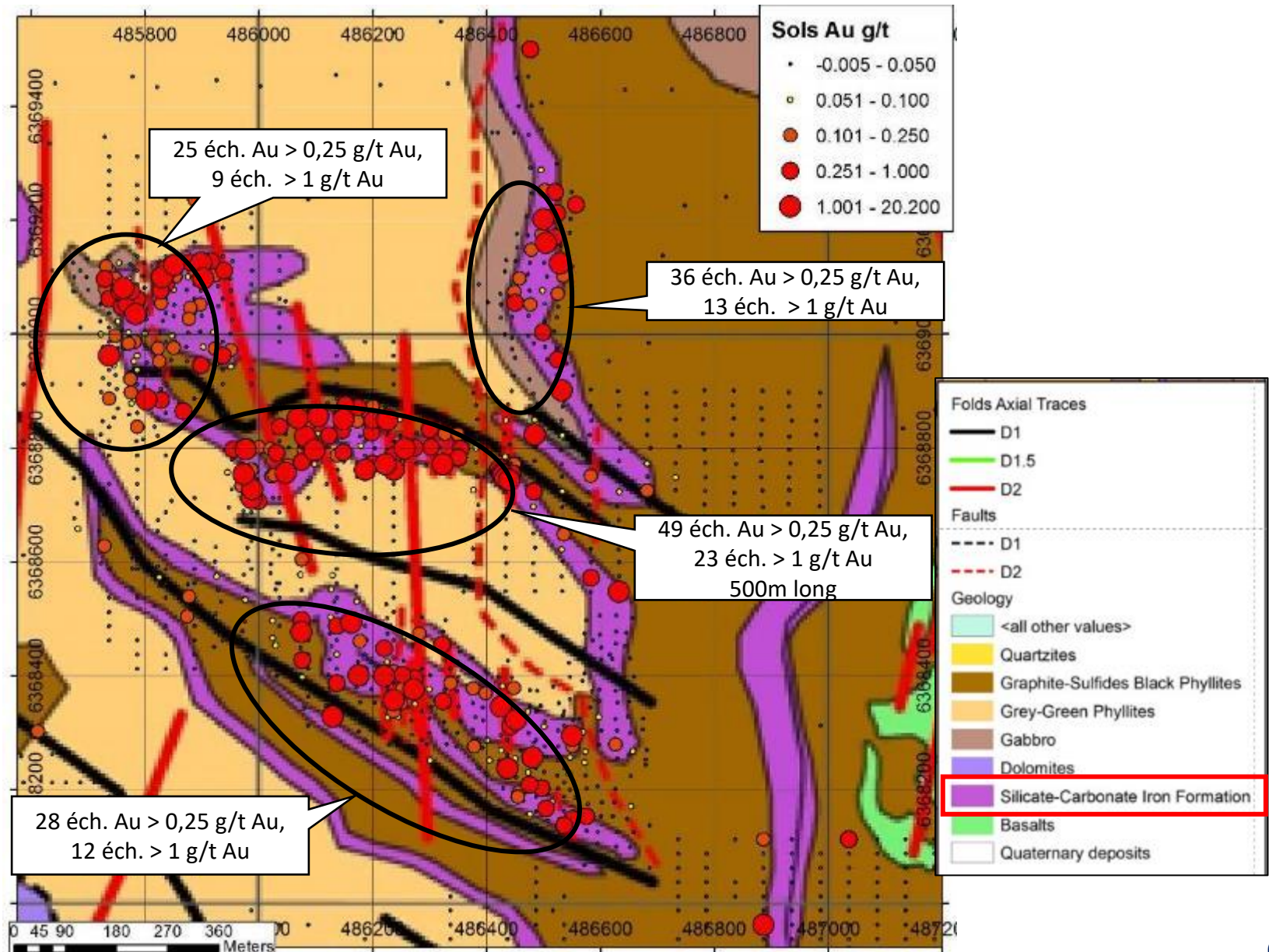
Réseau de veines de quartz dans
une formation de fer silicatée-
carbonatée, Indice Pump Pad Ridge

Kan – Secteur Pump Pad Ridge – Au dans les sols

- Sol se développe directement sur la formation de fer aurifère altérée.
- Des teneurs en or spectaculaires dans les sols
- Teneurs en or très élevées dans les sols, généralement > 0,1 g/t dans les zones minéralisées. Zone PPR :
 - 138 échantillons > 0,1 g/t Au
 - 57 échantillons > 1 g/t Au
- Il se peut que ce soit le cas dans certaines zones où les seuils d'anomalie devraient être beaucoup plus bas.

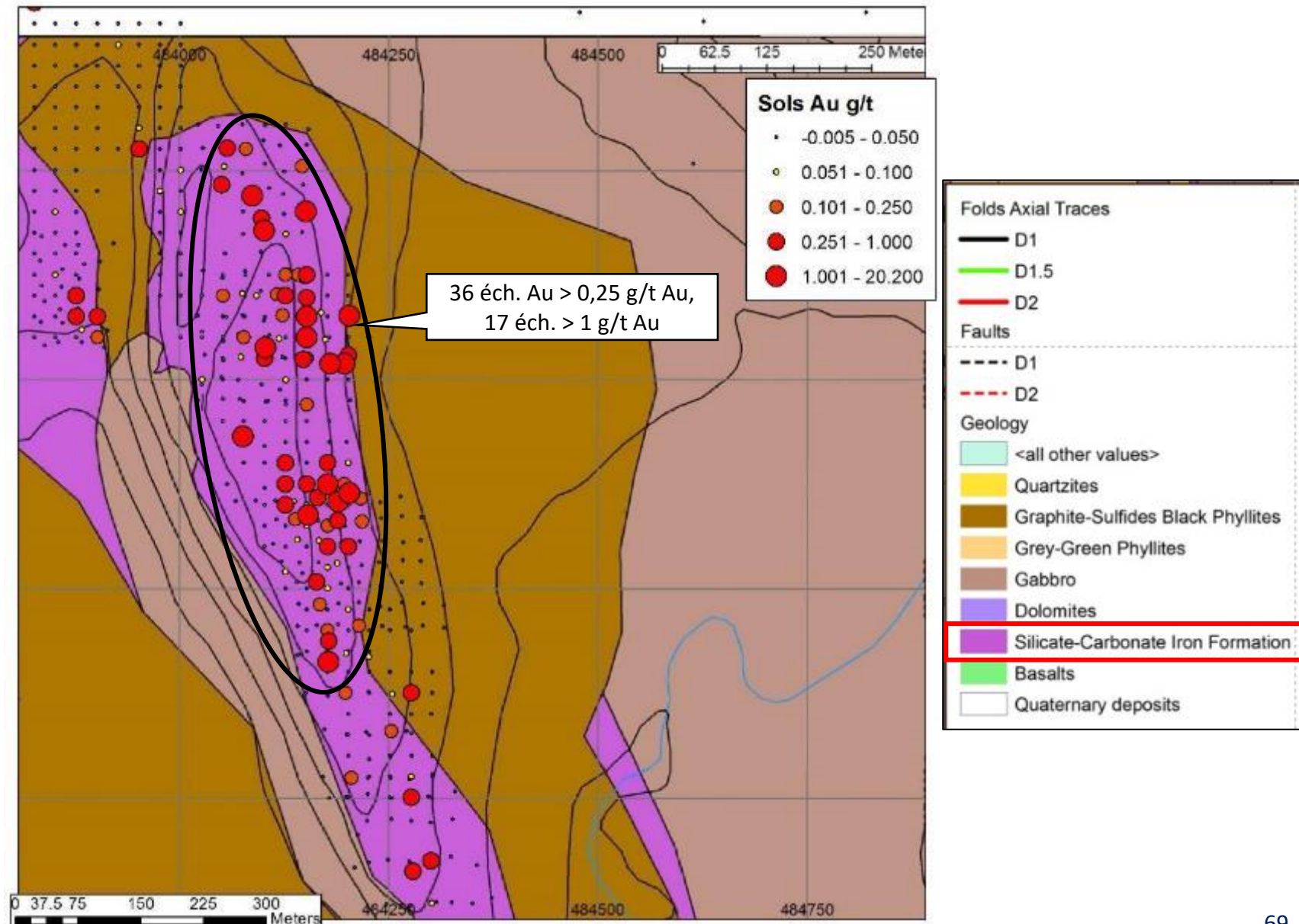


Régolithe de formation de fer avec veine de quartz



Kan – Secteur Ferricrete – Or dans les sols

- Sol se développe directement sur la formation de fer aurifère altérée.



Projet Willbob – Secteur Kan

Or trouvé à partir des sols
sur l'indice Winchester



Faits saillants Willbob-Kan



- ✓ Projet aurifère situé dans la Fosse du Labrador à l'ouest de Kuujuaq au Nunavik
- ✓ Nombreux indices d'or dans les formations de fer silicatées-carbonatées et les diorites-gabbros
 - ✓ Ferricrete : Jusqu'à 9,8 g/t Au sur 13,2 m (rainure)
 - ✓ Pump Pad Ridge: Jusqu'à 8,71 g/t Au sur 7,0 m (rainure)
 - ✓ Didgeridoo: Jusqu'à 2,3 g/t Au / 8,95 m (rainure)
 - ✓ Ants: Jusqu'à 1,78 g/t Au / 23,3 m (rainure); 1,81 g/t Au / 12,06 m (forage)
- ✓ Contexte régional très favorable aux gisements d'or orogéniques
 - ✓ Roches du faciès des schistes verts
 - ✓ Lithologies riches en fer favorables à la précipitation de l'or : abondance de gabbros, diorites, formations de fer et schistes noirs riches en fer
 - ✓ Déformation polyphasée, nombreux chevauchements et plis
 - ✓ Abondance de schistes noirs métallifères dans la région, pouvant constituer une source d'or